

ESCOLA POLITECNICA DA UNIVERSIDADE FEDERAL DA PARAIBA
COORDENAÇÃO DOS PROGRAMAS DE PÓS-GRADUAÇÃO EM ENGENHARIA

GRÁU DE MESTRE EM CIENCIA

= FORMULARIO DE ACEITAÇÃO DE TESE =

A Tese seguinte é apresentada como exigência parcial para o gráu de Mestre em Engenharia Elétrica.

Título da Tese: ⁺ ACOPLAMENTO E MODO TM01m EM CAVIDADES CILINDRICAS.

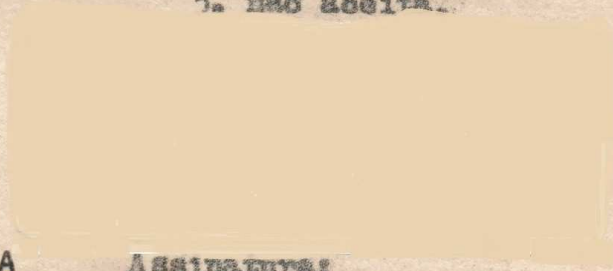
Apresentada por: EVANDRO CONFORTI

Data: 15 de dezembro de 1971

Comentário do (s) Examinador (s):

A Tese acima foi examinada e julgada, tendo sido:

- 1. aceita com distinção;
- 2. aceita sem modificações;
- 3. aceita com pequenas modificações;
- 4. aceita com grandes modificações;
- 5. não aceita.



Examinador: PAAVO A
VUORINEN

Assinatura:

Data:



C748a Conforti, Evandro.
Acoplamento e modo TM_{01m} em cavidades cilíndricas /
Evandro Conforti. -- Campina Grande, 1971.
60 f.

Dissertação (Mestrado em Ciências) - Escola Politécnica
da Universidade Federal da Paraíba, 1971.
"Orientação : Prof. Dr. Paavo A. Vourinen".
Referências.

1. Circuitos Equivalentes. 2. Acoplamento - Projeto. 3.
Cavidades Cilíndricas - Modo TM_{01m}. 4. Ciências -
Dissertação. I. Vourinen, Paavo A. II. Universidade Federal
da Paraíba - Campina Grande(PB). III. Título

CDU 621.011.712(043)

RESUMO

Utilizando-se circuitos equivalentes a parâmetros concentrados para representar a cavidade cilíndrica no modo TM_{01m} e seu acoplamento com o guia retangular obtem-se: método de medida dos parâmetros e projeto do acoplamento proposto objetivando-se aquecimento de líquidos ou fibras sintéticas.

CONTEUDO

1. INTRODUÇÃO.....	1
2. ANALISE DA TEORIA DOS CAMPOS PARA CAVIDADES CILINDRICAS	3
2.1-Equações gerais para os campos na cavidade.....	3
2.2-Comprimento de onda ressonante no espaço livre.....	6
2.3-Carta de modos.....	7
2.4-Carta de modos específica.....	10
2.5-Estudo do modo TM_{010}	10
2.5.1-Os campos no modo TM_{010}	10
2.5.2-Cálculo do circuito equivalente.....	11
2.6-O estudo do modo TM_{01m}	18
2.6.1-Os campos do modo TM_{01m}	18
2.6.2-Cálculo do circuito equivalente.....	19
3. METODO PARA EXCITAR A CAVIDADE.....	21
3.1-Análise qualitativa do acoplador modos TM_{01m} e modos espúrios.....	21
4. ANALISE DO CIRCUITO EQUIVALENTE	25
4.1-Introdução.....	25
4.2-Circuito proposto para o acoplamento.....	26
4.3-Circuito equivalente do conjunto cavidade-guia.....	28
4.4-Análise e simplificação do circuito.....	30
4.5-Determinação dos parâmetros da cavidade e acoplamen to.....	34
4.5.1-Introdução.....	34
4.5.2-Cálculo do coeficiente de reflexão:.....	34
4.5.3-Cálculo da potência absorvida.....	35
4.5.4-Potência refletida.....	37
4.5.5-Coefficiente de onda estacionária no guia.....	39
4.5.6-Cálculo do fator de acoplamento.....	40

4.5.7-Cálculo do fator de qualidade descarregado..	42
4.5.8-Cálculo da resistência equivalente.....	42
4.5.9-Calculo da relação de espiras do transforma dor.	42
4.5.10-Cálculo da resistência superficial, profun- didade de penetração e condutividade	42
4.6-Determinação dos parâmetros para TM_{01m}	42
4.7-Análise da cavidade de dois acessos.....	44
4.8-O acoplamento para linha de transmissão.....	47
5. PROJETOS DAS CAVIDADES, CIRCUITOS E TECNICAS DE MEDIDA.	48
5.1-O projeto das cavidades.....	48
5.1.1-Cálculo da frequência de ressonância.....	48
5.1.2-Cálculo do comprimento da cavidade.....	49
5.1.3-Desenho do acoplamento cavidade guia.....	51
5.2-Medida dos parâmetros da cavidade de um acesso....	52
5.2.1-Circuitos propostos.....	52
5.2.2-Medida da frequência de ressonância.....	54
5.2.3-Medida do fator de qualidade carregado.....	55
5.2.4-Determinação do fator de acoplamento.....	56
5.2.5-Tabelas e resultados.....	57
5.3-Medida dos parâmetros da cavidade de dois acessos.	58
5.3.1-Circuito proposto e medidas.....	58
5.4-Parâmetros do modo TM_{01m}	58
6. CONCLUSÕES.....	59
BIBLIOGRAFIA.....	60

FIGURAS

2.1-Cavidade cilíndrica e o sistema de coordenadas... 5

2.2-Carta de modos para cavidades cilíndricas..... 9

2.3-Os campos no modo TM_{010} 11

3.1-Campo magnético tangencial e correntes de superfície num guia retangular com curto..... 21

3.2-Correntes e campo magnético próximos a uma ranhura perpendicular às linhas de corrente.....22

3.3-Acoplador proposto para excitação do modo TM_{01m} .. 22

3.4-Excitação do modo TM_{01m} 23

3.5-Excitação dos modos TM_{11m} (não coerente), TM_{21m} (coerente), TE_{01m} (não coerente)..... 24

3.6-Excitação dos modos TE_{11m} (não coerente), TE_{21m} 24

4.1-Desenho da montagem do circuito de aquecimento... 25

4.2-Circuito equivalente da cavidade fechada e cavidade com um acesso..... 28

4.3-Circuito equivalente do conjunto guia-cavidade de um acesso..... 29

4.4-Circuito equivalente simplificado do conjunto guia-cavidade de um acesso..... 33

4.5-Gráfico da potência refletida pela cavidade com a frequência..... 38

4.6-Gráfico da potência absorvida com a frequência... 39

4.7-Variação do coeficiente de reflexão com a frequência..... 40

4.8-Fase do coeficiente de reflexão com a freq. para os três tipos de acoplamento..... 41

4.9-Circuito equivalente do conjunto guia-cavidade de dois acessos.....	44
5.1-Carta de modos específica.....	50
5.2-Desenho mecânico do conjunto cavidade-guia.....	51
5.3-Circuito a micro ondas para determinação dos parâmetros da cavidade e acoplamento.....	52
5.4-Disposição dos feixes no osciloscópio na me- dida da frequência de ressonância.....	54
5.5-Disposição dos feixes na medida da faixa de 3db..	55
5.6-Tabela das medidas e resultados.....	57

SIMBOLOS

- L -comprimento da cavidade cilíndrica
 D -diâmetro da cavidade cilíndrica
 E -campo elétrico no tempo e no espaço
 e -campo elétrico complexo
 λ_0 -comprimento no vácuo da onda ressonante
 ω_{00}, f_{00} -frequência de ressonância cavidade fechada ideal
 ω_0, f_0 -frequência de ressonância cavidade com acoplamento
 W -energia armazenada
 P -potência dissipada nas paredes da cavidade
 i -corrente superficial
 L_0, L_{eq} -indutância equivalente da cavidade
 C_{eq}, C_0 -capacitância equivalente da cavidade fechada ideal
 C -capacitância equivalente da cavidade com acoplamento
 R -resistência equivalente da cavidade
 R_s -resistência superficial
 σ -condutividade
 δ -profundidade de penetração
 Q_0 -fator de qualidade descarregado da cavidade
 Q_L -fator de qualidade carregado da cavidade
 μ_0 -permeabilidade magnética do vácuo
 ϵ_0 -permissividade elétrica do vácuo
 β -constante de fase do guia ou fator de acoplamento
 Z -impedância
 Y -admitância
 Z_1 -impedância vista pelo guia
 Z_2 -impedância do curto vista no acoplamento
 Z -impedância da cavidade com acoplamento
 Γ -coeficiente de reflexão
 Γ_0 -coeficiente de reflexão na ressonância

P_A -potência absorvida pela cavidade

P_R -potência refletida " "

P_T -potência transmitida " "

S -VSWR

S_0 -VSWR na ressonância

CAPITULO 1

INTRODUÇÃO

O modo TM_{010} de uma cavidade circular pode ser utilizado para aquecimento de líquidos ou secagem de fibras sintéticas. O campo elétrico constante na direção axial fornece um aquecimento uniforme da matéria. O principal problema a resolver num projeto deste tipo é o acoplamento do guia retangular (que transmite a energia do magnetron) com a cavidade cilíndrica.

Püschner¹ sugere um furo circular, no centro da parede plana da cavidade, como acoplamento. A desvantagem deste tipo de acoplamento é que o campo magnético é pequeno no furo.

Visando resolver este problema o orientador sugeriu e fez algumas medidas com um novo acoplamento mostrado no capítulo 3.

O objetivo deste trabalho é analisar teoricamente o problema formulando as experiências necessárias para um melhor entendimento do acoplamento proposto.

1 .Heating with microwaves - H. Püschner/ Seção 8.2.

No capítulo 2 é dada a base teórica e feita a análise da cavidade no modo TM_{01m} . É proposto um circuito equivalente a parâmetros concentrados que facilitará o entendimento do comportamento em frequência do conjunto cavidade-guia. ✓

No capítulo 3 é mostrado o tipo de acoplamento proposto com uma análise qualitativa dos modos possíveis de serem excitados.

No capítulo 4 é estudado o comportamento em frequência do conjunto guia retangular com curto-acoplamento-cavidade cilíndrica. Para tal é proposto e analisado um circuito equivalente para o acoplamento e um método para determinação dos parâmetros do circuito equivalente.

No capítulo 5 é proposto alguns circuitos e dada a técnica necessária para determinação dos parâmetros calculados no capítulo 4.

CAPITULO 2

ANALISE DA TEORIA DOS CAMPOS PARA CAVIDADES CILINDRICAS

2.1- Equações gerais para os campos na cavidade

Neste capítulo analisaremos uma cavidade cilíndrica com as equações de Maxwell para os campos eletromagnéticos e, a partir disto, proporemos um circuito equivalente para a cavidade operando no modo TM_{01m} .

As equações básicas do eletromagnetismo são :

equação de FARADAY-MAXWELL :
$$\int_{\gamma} \vec{E} \cdot d\vec{l} = - \frac{\partial}{\partial t} \int_S \vec{B} \cdot d\vec{S}$$

equação de AMPERE-MAXWELL :
$$\int_{\gamma} \vec{H} \cdot d\vec{l} = \int_S \vec{J} \cdot d\vec{S} + \frac{\partial}{\partial t} \int_S \vec{D} \cdot d\vec{S}$$

onde : \vec{E} (V/m)-campo elétrico

\vec{D} (C/m²)-indução elétrica

\vec{H} (Aesp/m)-campo magnético

\vec{B} (W/m²)-indução magnética , são grandezas que definem em todos os pontos do espaço um "estado elétrico".

Estas grandezas são funções do espaço e do tempo. Denotaremos : $E = E(u,v,w,t)$

Considerando o meio isotrópico temos :

$$\vec{J} = \vec{J}_{\text{condução}} = \sigma \vec{E}$$

$$\vec{D} = \epsilon \vec{E}$$

$$\vec{B} = \mu \vec{H}$$

Considerando-se que vamos resolver estas equações em uma cavidade cilíndrica (figura 2.1), é mais fácil usar as equações na forma diferencial em coordenadas cilíndricas e aplicar as equações integrais nas discontinuidades dos campos (condições de contorno). Supondo-se que os campos variam senoidalmente no tempo (campos harmônicos), podemos finalmente escrever :

$$\begin{array}{l} \text{equação} \\ \text{Faraday-} \\ \text{Maxwell} \end{array} \left\{ \begin{array}{l} \frac{\partial e_z}{\partial \varphi} - r \frac{\partial e_\varphi}{\partial z} = -j\omega\mu r h_r \\ \frac{\partial e_r}{\partial \varphi} - \frac{\partial e_\varphi}{\partial r} = -j\omega\mu h_\varphi \\ \frac{\partial(r e_\varphi)}{\partial r} - \frac{\partial e_r}{\partial \varphi} = -j\omega\mu r h_z \end{array} \right. \quad (2.1)$$

$$\begin{array}{l} \text{equação} \\ \text{Ampere-} \\ \text{Maxwell} \end{array} \left\{ \begin{array}{l} \frac{\partial h_z}{\partial \varphi} - r \frac{\partial h_\varphi}{\partial z} = (\sigma + j\omega\epsilon) r e_r \\ \frac{\partial h_r}{\partial z} - \frac{\partial h_z}{\partial r} = (\sigma + j\omega\epsilon) e_\varphi \\ \frac{\partial(r h_\varphi)}{\partial r} - \frac{\partial h_r}{\partial \varphi} = (\sigma + j\omega\epsilon) r e_z \end{array} \right.$$

$$\text{onde : } E_z(r, \varphi, z, t) = \text{Re}(e_z e^{j\omega t})$$

$$\text{com : } e_z = E_{z0} e^{j\varphi_0}$$

Analogamente para as outras componentes .

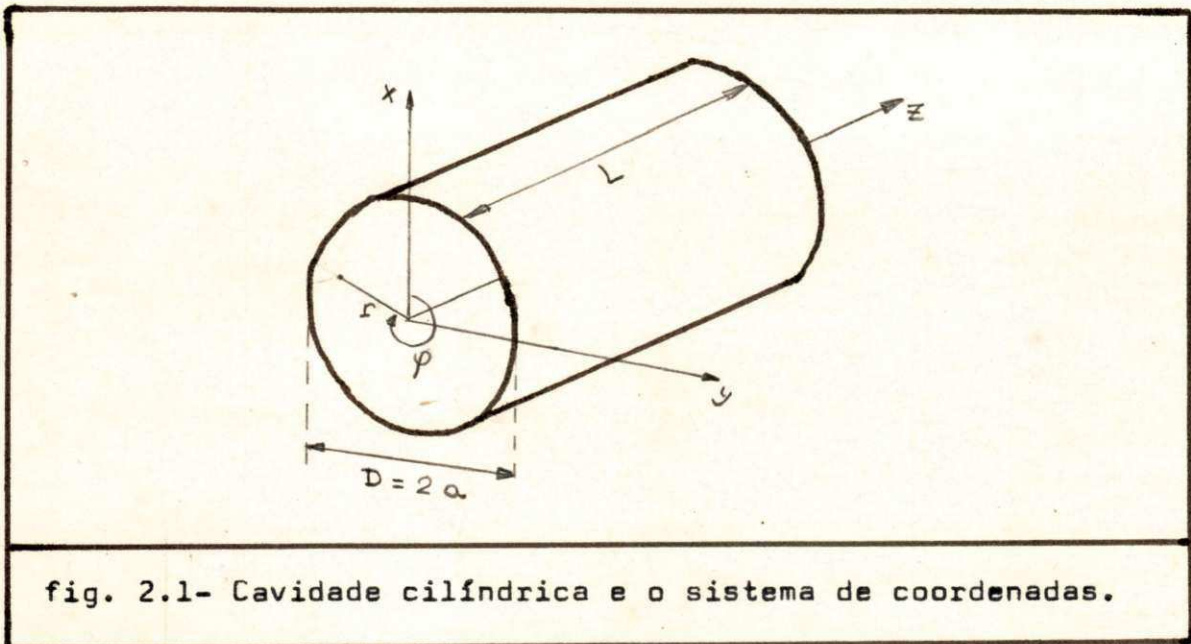


fig. 2.1- Cavidade cilíndrica e o sistema de coordenadas.

É conveniente considerar dois grupos de soluções (modos TE ou TM) e aplicarmos o método de separação de variáveis .

modos TE

$$E_z = 0$$

$$H_z \neq 0$$

$$h_z = R(r) \cdot \phi(\varphi) \cdot Z(z)$$

$Z(z) = \sin(m\pi z/L)$ pois nas paredes planas , te

$$\text{mos : } H_z \Big|_{z=0; z=L} = 0$$

modos TM

$$E_z \neq 0$$

$$H_z = 0$$

$$e_z = R(r) \phi(\varphi) Z(z)$$

$Z(z) = \cos(m\pi z/L)$ pois nas paredes planas , te

$$\text{mos : } E_z \Big|_{z=0; z=L} = 0$$

Mas sabemos que $R(r) = J_n(x_n \cdot r)$ e $\phi(\varphi) = \cos n\varphi$

Substituindo estes valores nas equações (2.1) ,

encontramos :

modos TE

$$h_z = J_n(x_n r) \cos(n\psi) \sin(m\pi z/L)$$

$$e_z = 0$$

$$h_r = \left(\frac{m\pi}{L x_n}\right) J'_n(x_n r) \cos(n\psi) \cos(m\pi z/L)$$

$$e_\psi = \left(\frac{j\omega\mu}{x_n}\right) J'_n(x_n r) \cos(n\psi) \sin(m\pi z/L)$$

$$h_\psi = -\left(\frac{nm\pi}{L x_n^2 r}\right) J_n(x_n r) \sin(n\psi) \cos(m\pi z/L)$$

$$e_r = \left(\frac{j\omega\mu n}{x_n^2 r}\right) J_n(x_n r) \sin(n\psi) \sin(m\pi z/L)$$

$$x_n^2 = (\omega^2 \mu \epsilon) - (m\pi/L)^2$$

$$\omega = \omega_{00}$$

modos TM

$$e_z = J_n(x_n r) \cos(n\psi) \cos(m\pi z/L)$$

$$h_z = 0$$

$$e_r = -\left(\frac{m\pi}{L x_n}\right) J'_n(x_n r) \cos(n\psi) \sin(m\pi z/L)$$

$$h_\psi = -\left(\frac{j\omega\epsilon}{x_n}\right) J'_n(x_n r) \cos(n\psi) \cos(m\pi z/L)$$

$$e_\psi = \left(\frac{nm\pi}{L x_n^2 r}\right) J_n(x_n r) \sin(n\psi) \sin(m\pi z/L)$$

$$h_r = -\left(\frac{j\omega\epsilon n}{x_n^2 r}\right) J_n(x_n r) \sin(n\psi) \cos(m\pi z/L)$$

$$x_n^2 = (\omega^2 \mu \epsilon) - (m\pi/L)^2$$

equações (2.2)

As equações acima podem ser obtidas a partir das equações 2.1. Para os modos TE, por exemplo, usamos a 1ª e 5ª equação para obter h_r lembrando que $e_z = 0$. As outras componentes são obtidas seguindo a ordem, e, finalmente, a terceira equação fornece x_n . Algum cuidado é necessário ao usar-se as identidades de funções de Bessel.

2.2- Comprimento de onda ressonante no espaço livre

Aplicando-se as condições de contorno nas paredes da cavidade (parede curva $r=a$; paredes planas $z=0$ e $z=L$) podemos encontrar a frequência de ressonância e conseqüentemente o comprimento da onda ressonante no vácuo (λ_0).

Condições de contorno

modo TE

$$\left. \begin{array}{l} e_{\phi} = 0 \\ h_r = 0 \end{array} \right|_{r=a} \quad J'_n(x_n a) = 0$$

note também que $h_z, e_{\phi}, e_r = 0$

em $z=0, z=L$, como requerido.

As raízes de $J'_n(x_n a)$ são:

$$J'_0(x_0 a) = 0, \text{ quando } (x_0 a) = 3,83; 7,02; \dots$$

$$J'_1(x_1 a) = 0, \quad (x_1 a) = 1,84; 5,33; \dots$$

.....

$$\text{A partir de } x_n^2 = (w^2 u_0 \epsilon_0) - (m\pi/L)^2$$

e considerando que $w = 2\pi f$ e

que $f \cdot \lambda_0 = (u_0 \epsilon_0)^{-1/2}$ e $D = 2a$

$$\text{vem } \lambda_0 = \frac{2}{\sqrt{(2x_{ns}/\pi D)^2 + (m/L)^2}} \quad (2.3)$$

onde x_{ns} é a $s^{\text{ésima}}$ raiz de $J'_n(x_n a) = 0$

modo TM

$$\left. \begin{array}{l} e_{\phi} = 0 \\ h_r = 0 \\ e_z = 0 \end{array} \right|_{r=a} \quad J_n(x_n a) = 0$$

note também que $e_{\phi}, e_r = 0$

em $z=0$, como requerido.

As raízes de $J_n(x_n a)$ são |

$$J_0(x_0 a) = 0, \text{ quando } (x_0 a) = 2,40; 5,52; \dots$$

$$J_1(x_1 a) = 0, \text{ quando } (x_1 a) = 3,83; 7,01; \dots$$

.....

$$\text{A partir de } x_n^2 = (w^2 u_0 \epsilon_0) - (m\pi/L)^2$$

e considerando que $w = 2\pi f$ e

que $f \cdot \lambda_0 = (u_0 \epsilon_0)^{-1/2}$ e $D = 2a$,

$$\text{vem } \lambda_0 = \frac{2}{\sqrt{(2x_{ns}/\pi D)^2 + (m/L)^2}} \quad (2)$$

onde x_{ns} é a $s^{\text{ésima}}$ raiz de $J_n(x_n a) = 0$

2.3-Carta de modos.

Pela aplicação das condições de contorno notamos que a cavidade só pode oscilar em frequências bem definidas. Esses resultados são válidos para cavidades ideais e completamente fechadas. Veremos que cavidades com furos tem comportamento diverso.

Podemos então traçar gráficos das potências possíveis em função das dimensões da cavidade, Diremos que a cada potência corresponde um modo de oscilação definido pelas variáveis n (ordem da função de Bessel), s (ordem do zero da função de Bessel), m (número de $\lambda_g/2$ ao longo da cavidade). Denotaremos TE_{nsm} e TM_{nsm} .

De 2.2 temos:

$$x_n^2 = \omega^2 \mu \epsilon - (m\pi/L)^2 \quad \text{ou} \quad \boxed{\omega/c = \sqrt{x_n^2 + (m\pi/L)^2}} \quad (2.4)$$

$$\text{com } a = D/2 \text{ e } \omega = 2\pi f \quad \frac{4\pi^2 f^2}{c^2} = \frac{4(x_n a)^2}{D^2} + \frac{m^2 \pi^2 D^2}{D^2 L^2}$$

$$\text{ou } (4/c^2)(f_{00}^2 D^2) = 4(x_n a)^2 + m^2 (D/L)^2$$

Para f_{00} em gigahertz e $c = 3,0 \times 10^{10}$ cm/s vem

$$\boxed{(f_{00} * D)^2 * 10^{-2} = \left[\frac{9}{\pi} (x_n a)^2 \right] + \left[\frac{9m^2}{4} (D/L)^2 \right]} \quad (2.5)$$

Plotando-se esta equação num gráfico obtemos a carta de modos (figura 2.2).

Os modos TE_{nso} são impossíveis pois implica na anulação de todos os campos. A intersecção com o eixo das ordenadas corresponde ao comprimento de cavidade ($L \rightarrow \infty$), onde todos os modos são possíveis e todos os modos da mesma família (n é o mesmo) têm mesma frequência de corte. Veja também que TE_{011}, TM_{111} ; TE_{012}, TM_{112} ; ...; estão juntos. Notar que dependendo das dimensões da cavidade o modo dominante é TE_{111} ou TM_{010} (modo usado para aquecimento).

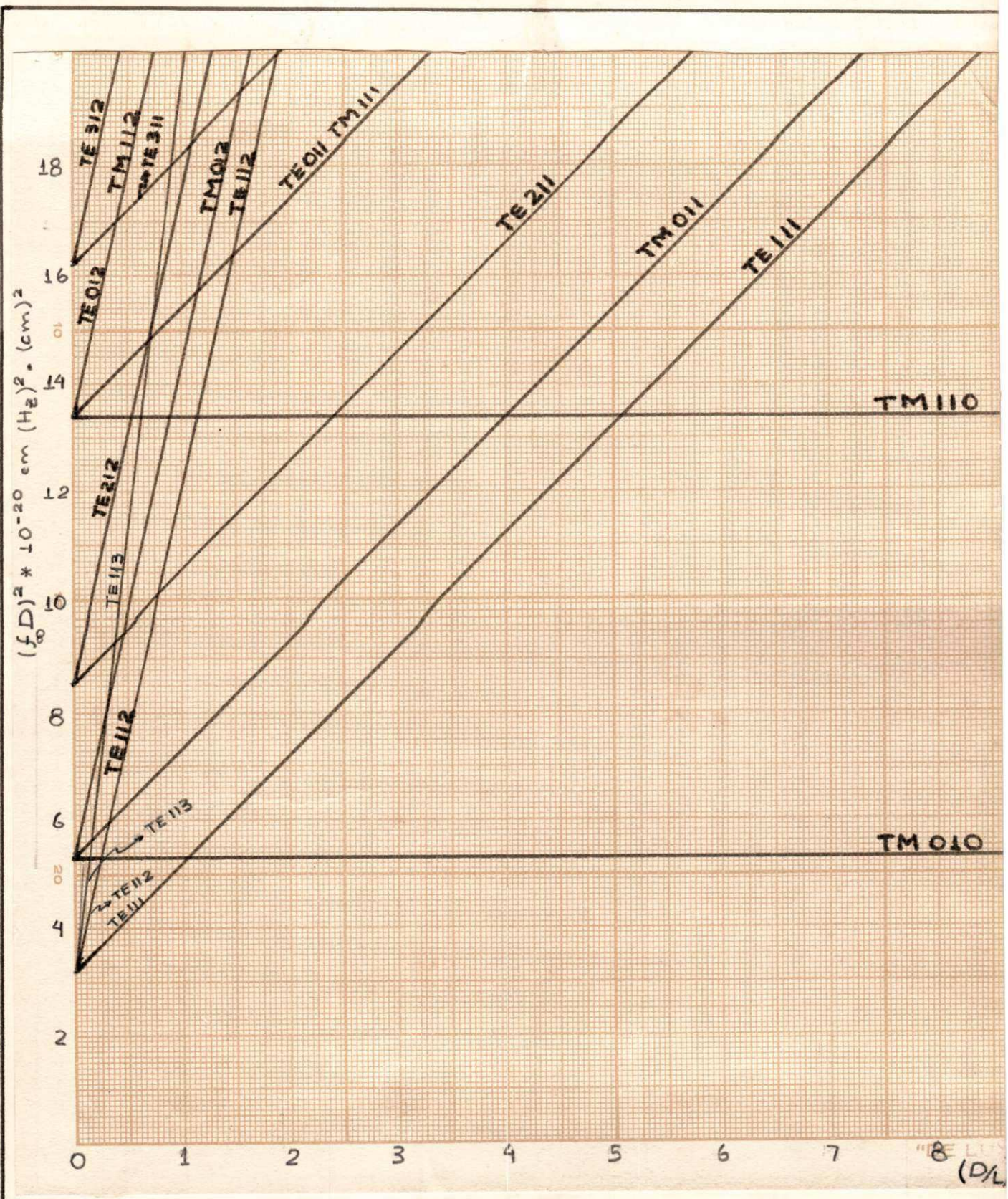


fig. 2.2- Carta de modos das cavidades cilíndricas.

2.4-Carta de modos específica.

Para o nosso problema as cavidades tem sempre o mesmo diâmetro, sendo que o comprimento é variável. Podemos traçar um gráfico em que dado o comprimento lemos a frequência diretamente. Veremos que isto facilita muito o projeto da cavidade, assim como a identificação do modo de ressonância. A equação 2.4 pode ser escrita na forma seguinte :

$$f_{00} = \frac{10}{D} \sqrt{\frac{9(x_n a)^2}{\pi^2} + \left(\frac{9m^2 D^2}{4}\right) \cdot \frac{1}{L^2}} \quad (2.6)$$

O gráfico correspondente para $D=2,42$ cm encontra-se na figura 5.1.

2.5-Estudo do modo TM_{010}

2.5.1-Os campos no modo TM_{010} .

Utilizando-se as equações 2.2 para modos TM vem:

$$n=0; s=1; m=0;$$

$$x_0^2 = (\omega^2 \mu \epsilon) - (m\pi/L) \implies x_0 = \omega \sqrt{\mu \epsilon_0}$$

campo complexo

$$e_z = J_0(x_0 r) \cdot e_{z0}$$

$$h_z = 0$$

$$e_r = 0$$

$$h_\phi = - (j\omega \epsilon_0 / x_0) J_0'(x_0 r) \cdot e_{z0}$$

$$e_\phi = 0$$

$$h_r = 0$$

campo real

$$E_z = E_{z0} \cdot J_0(x_0 r) \cdot \cos(\omega t + \psi)$$

$$H_z = 0$$

$$E_r = 0$$

$$H_\phi = E_{z0} \cdot (\omega \epsilon_0 / x_0) J_0'(x_0 r) \cdot \sin(\omega t + \psi)$$

$$E_\phi = 0$$

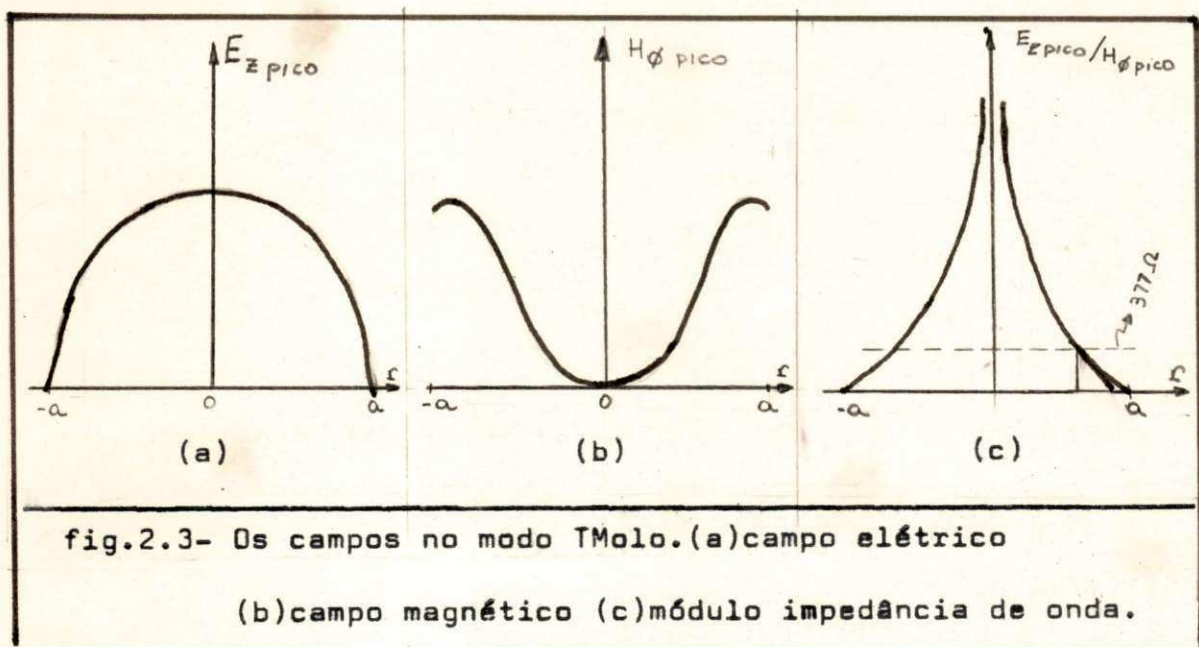
$$H_r = 0$$

(2.7)

Notar que os únicos campos que existem são E_z e H_ϕ que estão defasados de $\pi/2$ no tempo (não há dissipação de energia) e a razão de seus valores de pico vale

$$(E_z \text{ pico}) / (H_\phi \text{ pico}) = \sqrt{\frac{\mu_0}{\epsilon_0}} \left| J_0'(x_0 r) / J_0''(x_0 r) \right| \quad (2.8)$$

A variação destes campos com o raio r é mostrada na figura 2.3.



2.5.2-Cálculo do circuito equivalente.

Neste parágrafo calcularemos um circuito RLC equivalente da cavidade. Apesar de haver infinitos circuitos possíveis (a cavidade tendo dimensões da ordem do comprimento de onda não é um circuito a parâmetros concentrados), o circuito RLC nos ajuda a compreender o comportamento em frequência da cavidade.

-energia armazenada no campo elétrico.

-Energia armazenada no campo elétrico

$$W_E = \int_V \frac{\epsilon_0 \vec{E} \cdot \vec{E}}{2} dV = \frac{\epsilon_0 L}{2} E_{x_0}^2 2\pi \cos^2(\omega t + \phi) \int_0^a J_0^2(x_0 r) r dr$$

considere a integral $\int_0^a J_0^2(x_0 r) r dr = \frac{1}{x_0^2} \int_0^{x_0 a} J_0^2(x) x dx$

$$= \frac{1}{x_0^2} \left(x^2 \cdot \frac{J_0^2(x) + J_1^2(x)}{2} \right) \Big|_0^{x_0 a}$$

ou : $\int_0^a J_0^2(x_0 r) r dr = \frac{a^2}{2} J_1^2(x_0 a)$

definindo : $\overline{W_E} = \frac{1}{T} \int_0^T W_E dt$ (valor médio)

vem: $\boxed{W_E = E_{z_0}^2 (\epsilon_0 L / 4) \pi a^2 J_1^2(x_0 a)}$ (2.9)

-Energia armazenada no campo magnético

$$W_H = \int_V \vec{H} \cdot \vec{H} \frac{\mu}{2} dV = \frac{\mu_0 L}{2} E_{z_0}^2 \left(\frac{\omega \epsilon_0}{x_0} \right)^2 \sin^2(\omega t + \phi) 2\pi \int_0^a J_0'^2(x_0 r) r dr$$

mas temos que :

$$\int_0^a J_0'^2(x_0 r) r dr = \frac{1}{x_0^2} \left(\frac{x^2 (J_0^2(x_0 r) + J_1^2(x_0 r))}{2} - x J_0 J_1 \right) \Big|_0^{x_0 a} = \frac{a^2}{2} J_1^2(x_0 a)$$

$$\text{ou : } \boxed{\overline{W}_H = \frac{\mu_0}{2} E_{z0}^2 \left(\frac{\omega \epsilon_0}{x_0} \right)^2 \frac{1}{2} \pi a^2 J_1^2(x_0 a)} \quad (2.10)$$

notando que : $\mu_0 \left(\frac{\omega \epsilon_0}{x_0} \right)^2 = \mu \left(\frac{\epsilon_0}{\mu_0} \right)^2 = \epsilon_0$

encontramos : $\boxed{\overline{W}_E = \overline{W}_H}$

ou seja: para cavidades ideais fechadas a energia armazenada no campo elétrico (valor médio no tempo) é igual a energia armazenada no campo magnético. Veremos que para cavidades "abertas" isto só acontece na ressonância.

-Cálculo das correntes na cavidade.

No interior da cavidade, o campo elétrico E_z vai dar uma corrente de deslocamento na direção z (i_d). Esta corrente varia com r mas é constante em z . A lei de Ampere-Maxwell: "a integral de linha de H_ϕ no círculo de raio r (z =constante) iguala a corrente interna ao círculo" nos dará i_d .

$$\text{então : } i_d = 2\pi E_{z0} \sqrt{\frac{\epsilon_0}{\mu_0}} J_1'(x_0 r) \cdot r \cdot \text{sen}(\omega t + \phi)$$

A lei da conservação da carga (a corrente total em uma superfície fechada é nula) nos garante que a corrente na superfície curva (com z =constante) é igual à corrente de deslocamento (i_d) no círculo de raio a .

$$\text{então : } \boxed{i_c = 2\pi a E_{z0} \sqrt{\frac{\epsilon_0}{\mu_0}} J_1'(x_0 a) \text{ sen}(\omega t + \phi)} \quad (2.11)$$

$$\text{ou : } i_c \cong 8,65 \times 10^{-3} * E_{z0} a \text{ sen}(\omega t + \phi)$$

Na parede plana temos uma corrente radial que varia com r . A condição de contorno : a corrente superficial por unidade de comprimento iguala o campo magnético tangencial, nos fornece o valor desta corrente.

$$i_p = 2\pi r E_{z0} \sqrt{\frac{\epsilon_0}{\mu_0}} J'_0(x_0 r) \sin(\omega t + \varphi) = i_d$$

Quando $r=a$ temos $i_p = i_c$ conforme esperado.

Notar que não existe somente um valor da corrente para calcularmos nosso circuito equivalente. Escolheremos o valor médio quadrático da corrente na parede curva (i_c^2).

$$\boxed{i_c^2 = 2\pi^2 a^2 E_{z0}^2 \frac{\epsilon}{\mu} J_0'^2(x_0 a)} \quad (2.12)$$

notar que : $J_0'^2(x_0 a) = J_1^2(x_0 a)$

-Cálculo da indutância equivalente (L_{eq})

$$\boxed{L_{eq} = \frac{2 \overline{W_H}}{i_c^2} = \left(\frac{\mu_0}{4\pi} L \right) = 1 \text{ milimicro henry/cm}} \quad (2.13)$$

Para o cálculo da capacitância equivalente precisamos definir uma diferença de potencial (V) entre as paredes planas pois seu valor é qualquer dentro de uma faixa (que vai de zero até um valor máximo). Notar que este fato se deve ao campo elétrico possuir rotacional diferente de zero, ou seja, a integral de linha depende do caminho. (se fizermos a integral do campo elétrico por uma linha contida nas paredes seu valor é zero, ao passo na linha $r=0$ seu valor é máximo).

-Cálculo do campo elétrico médio

$$\text{temos : } E_z = E_{z_0} \cdot J_0(x_{0r}) \cos(\omega t + \varphi)$$

$$\text{então : } E_z^{\text{med}} = E_{z_0} \cdot \cos(\omega t + \varphi) \frac{1}{x_{0a}} \int_0^{x_{0a}} J_0(x) dx$$

mas $x_{0a} = 2,4048$ e a integral vale 1,47 donde,

$$E_z^{\text{med}} = 0,613 E_{z_0} \cos(\omega t + \varphi) \quad (2.14)$$

-Cálculo da "voltagem" entre as paredes planas

V_0 = integral de linha do campo médio sobre a linha z

$$\text{então : } \overline{V_0} = \overline{E_z^{\text{med}}} \cdot L$$

$$\text{e : } \overline{V_0} = \frac{0,613}{\sqrt{2}} \cdot E_{z_0} \cdot L \quad (2.15)$$

-Cálculo da capacitância equivalente (C_{eq})

$$C_{eq} = \frac{2 \overline{W_E}}{\overline{V_0}^2} = \frac{2 (\epsilon_0 L/4) (\pi a^2) J_1^2(x_{0a})}{(0,613/\sqrt{2})^2 E_{z_0}^2 L^2}$$

$$\text{notando que : } \epsilon_0 = \frac{1}{c^2 \mu_0} ; J_1(x_{0a}) = 0,519 ; D^2 = 4a^2$$

vem :

$$C_{eq} = \frac{\pi}{(2,4)^2 c^2 \mu_0} \cdot \frac{D^2}{L} \quad (2.16)$$

-Cálculo da frequência de ressonância

Sabemos que : $\omega_{00} = \frac{1}{\sqrt{L_{eq} C_{eq}}} \approx \frac{(2,4) * 2 * c}{D}$

Mas da eq. 2.3 para TM_{010} ($n=0; s=1; m=0$) temos:

$$\omega_{00} = \frac{2\pi c}{\lambda_0} = \frac{2\pi_{01} c}{D} = \frac{2 * 2,40485 * c}{D} \quad (2.17)$$

ou seja, nossos valores de L_{eq} e C_{eq} estão coerentes.

---potência perdida num ciclo (\overline{P}_t)

temos: $P_t = P_c + P_p$ onde P_c é a potencia perdida na parede curva e P_p é a potencia perdida / nas paredes planas. Considerando-se que não existe campo magnético no interior do condutor, a corrente superficial C é dada pelo campo magnético tangencial (H_ϕ). Seja R_s a resistencia superficial do condutor.

$$\text{então } \overline{P}_c = R_s \int C^2 \cdot dS = E_{z0}^2 \cdot R_s \cdot (\epsilon_0 / \mu_0) \cdot J_1^2(x_0 a) \cdot (2\pi a L / 2)$$

$$\overline{P}_p = 2 * \frac{E_{z0}^2}{2} \cdot R \cdot (\epsilon_0 / \mu_0) \int_0^a J_1^2(x_0 r) 2\pi r \cdot dr$$

$$\text{ou seja, } \overline{P}_p = E_{z0}^2 \cdot R_s \cdot (\epsilon_0 / \mu_0) \cdot J_1^2(x_0 a) \cdot (2\pi a^2 / 2)$$

$$\text{finalmente, } \overline{P}_t = E_{z0}^2 \cdot R_s \cdot (\epsilon_0 / \mu_0) \cdot J_1^2(x_0 a) \cdot \pi a \cdot (a+L) \quad (2.18)$$

-Coeficiente de qualidade descarregado (Q_0)

Quando calculamos a energia perdida nas paredes supusemos que as perdas eram suficientemente pequenas de maneira a não alterar os campos significativamente. Estas perdas vão ser responsáveis pela queda da energia armazenada no tempo. A constante de tempo Q_0 é a relação entre a energia armazenada pela energia perdida num ciclo pelo sistema.

$$\text{Então : } Q_0 = \frac{\omega_0 \overline{W_E}}{\overline{P_t}}$$

notando que $R_s = \sqrt{\frac{\omega \mu_0}{2\sigma}}$ e que : $(\omega \mu_0 / 2R_s) = \sqrt{\omega \mu_0 \sigma / 2} = \frac{1}{\delta}$

onde δ é a profundidade de penetração obtemos:

$$\boxed{Q_0 = \frac{aL}{\delta(a+L)}} \quad (2.19)$$

-Resistência série equivalente da cavidade (R).

$$\text{Definimos : } R = \overline{P_t} / i_c^2$$

$$\text{então : } R = \frac{R_s(a+L)}{2\pi a} = \frac{\delta \omega \mu_0 (a+L)}{4\pi a}$$

$$\text{notar que desta maneira : } \boxed{R = \omega_0 L / Q_0} \quad (2.20)$$

O valor de R_s e δ dependem da usinagem e do material das paredes da cavidade. Mostraremos como determinar experimentalmente estes valores. Podemos expressar R como função de σ que é independente da frequência, o que não acontece com R_s e δ .

$$R = \sqrt{\frac{\omega \mu_0}{2\sigma}} \frac{a+L}{2\pi a}$$

2.6-0 estudo do modo TM_{01m}

2.6.1-0s campos do modo TM_{01m}

Utilizando-se as equações 2.2 para modos TM

vem :

$$n=0 \quad s=0 \quad m=m$$

$$\chi_0^2 = (\omega_{00}^2 \mu_0 \epsilon_0) - (m\pi/L)^2$$

<u>campo complexo</u>	<u>campo real</u>
$e_z = e_{z0} J_0(\chi_0 r) \cos(m\pi z/L)$	$E_z = E_{z0} J_0(\chi_0 r) \cos(m\pi z/L) \cos(\omega t + \phi)$
$h_z = 0$	$H_z = 0$
$e_r = -e_{z0} \left(\frac{m\pi}{L\chi_0}\right) J_0'(\chi_0 r) \sin(m\pi z/L)$	$E_r = -E_{z0} \left(\frac{m\pi}{L\chi_0}\right) J_0'(\chi_0 r) \sin(m\pi z/L) \cos(\omega t + \phi)$
$h_\phi = -e_{z0} \left(\frac{j\omega\epsilon}{\chi_0}\right) J_0'(\chi_0 r) \cos(m\pi z/L)$	$H_\phi = -E_{z0} \left(\frac{\omega\epsilon}{\chi_0}\right) J_0'(\chi_0 r) \cos(m\pi z/L) \sin(\omega t + \phi)$
$e_\phi = 0$	$E_\phi = 0$
$h_r = 0$	$H_r = 0$

Vemos portanto que em relação ao TM_{010} apareceu a componente radial do campo elétrico (E_r) e a variação em z .

O cálculo das perdas na parede é ainda fácil uma vez que só temos H_ϕ . Então o cálculo de Q_0 também pode ser feito. A corrente nas paredes curvas varia com z . Isto é possível devido à componente E_r que fornece uma corrente de deslocamento e a lei "a corrente total que entra em uma superfície fechada é zero" continua válida.

2.6.2-Circuito equivalente modo TM_{0lm} ; $m > 0$

-Cálculo da potência perdida num ciclo.

Nas paredes planas o campo H_ϕ é o mesmo que em TM_{010} e então o resultado é o mesmo que em 2.5.2

$$\bar{P}_p = E_{z0}^2 R_s \left(\frac{\omega \epsilon}{x_0}\right)^2 J_1^2(x_0 a) (2\pi a^2/2)$$

Nas paredes curvas o campo H_ϕ^2 varia com $\cos^2\left(\frac{m\pi z}{L}\right)$ e então a integral em relação a z dará $1/2 \cdot L$ pois $\int_0^L \cos^2 \frac{m\pi z}{L} dz = \frac{1}{2} L$. Então a potência perdida nas paredes curvas é a metade da potência perdida no modo TM_{010} (desde que a frequência é a mesma)

$$\bar{P}_c = \frac{1}{2} E_{z0}^2 R_s \left(\frac{\omega \epsilon}{x_0}\right)^2 J_1^2(x_0 a) (2\pi a L/2)$$

finalmente :

$$\boxed{\bar{P}_t = E_{z0}^2 R_s \left(\frac{\omega \epsilon}{x_0}\right)^2 J_1^2(x_0 a) \pi a (a + L/2)} \quad (2.21)$$

-Cálculo da energia armazenada no campo magnético

Devido ao quadrado de H_ϕ variar com $\cos^2(\quad)$ o valor de W_h será metade do calculado para TM_{010} onde H_ϕ não é ra função de z .

$$\boxed{\bar{W}_H = \frac{1}{2} \left(\frac{\mu L}{2}\right) \left(\frac{\omega_0 \epsilon}{x_0}\right)^2 E_{z0}^2 \frac{1}{2} \pi a^2 J_1^2(x_0 a)} \quad (2.22)$$

-Cálculo do fator de qualidade descarregado (Q_0)

$$\boxed{Q_0 = \frac{\omega_0 \bar{W}_H}{\bar{P}_t} = \frac{\omega_0 \mu}{2 R_s} \frac{DL}{2(D+L)} = \frac{1}{s} \frac{DL}{2(D+L)} = \sqrt{\frac{\omega_0 \mu_0 \sigma}{2}} \frac{DL}{2(D+L)}} \quad (2.23)$$

-Resistência equivalente,

Escolheremos para R o mesmo valor que para TM_{010}

$$R = \frac{R_s (D/2 + L)}{\pi D} = \frac{\delta \omega \mu_0 (D/2 + L)}{2 \pi D} = \frac{\omega \mu}{2 \sigma} \frac{D/2 + L}{\pi D} \quad (2.24)$$

Notar que uma vez determinado para o modo TM_{010} basta medir a frequência de ressonância para termos R.

-Indutância equivalente.

De $Q_0 = \omega L/R$, vem $L = R Q_0 / \omega$

$$\text{ou : } L_{eq} = \frac{\mu_0}{4\pi} \frac{(D/2 + L)}{(D + L)} L \quad (2.25)$$

ou seja agora a indutância equivalente depende do diâmetro (D) e do comprimento da cavidade. Para cavidades longas seu valor é o mesmo que para TM_{010} (neste caso as frequências de ressonância se aproximam de um mesmo valor).

-Capacitância equivalente

$$\omega_0 = 1/\sqrt{LC} \quad \text{mas : } \omega_0 = 2\pi f_0 = 2\pi c/\lambda_0$$

$$\text{tendo } x_{01} = x_{02} = 2,4048 \text{ e : } \lambda_0 = \frac{2}{\sqrt{\left(\frac{2x_{01}}{\pi D}\right)^2 + \left(\frac{m}{L}\right)^2}}$$

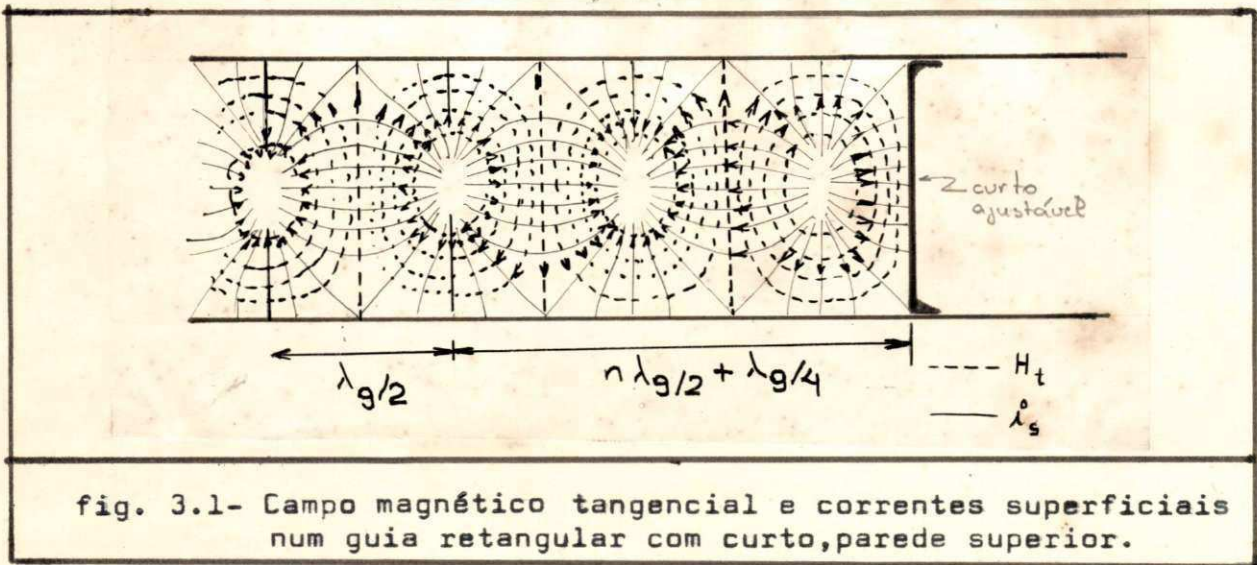
$$\text{ou : } C = \frac{1}{\omega_0^2 L_{eq}}$$

$$C = \frac{(D + L)}{\pi^2 c^2 \left[\left(\frac{2 \cdot 2,4048}{\pi D}\right)^2 + \left(\frac{m}{L}\right)^2 \right] \mu_0 (D/2 + L) L} \quad (2.26)$$

CAPITULO 3 - METODO PARA EXCITAR A CAVIDADE

3.1-ANALISE QUALITATIVA ACOPLADOR PARA MODOS TM_{0lm}

Seja dado um guia de ondas excitado no modo TE_{10} . A parede superior do guia (maior dimensão) tem a seguinte configuração de correntes de condução e campos magnéticos junto à superfície (figura 3.1)



Se fizermos um corte (na parede do guia) perpendicular às linhas de corrente, a corrente tenderá a passar para o lado de fora do guia (parede externa). Essa corrente excitará então campos eletromagnéticos fora do guia e energia será irradiada. Se colocarmos / uma superfície metálica fechada, que contenha o furo, em cima do guia, a energia, não podendo mais ser irradiada, vai ser em parte armazenada e consumida na superfície e em parte devolvida ao guia retangular (energia refletida).

Caso nosso corte (perpendicular às linhas de corrente) seja comprido e fino, e, a espessura da parede do guia for pequena, teremos as linhas de campo magnético na direção da maior dimensão do corte, pois a condição de contorno diz que os campos magnéticos tangenciais ao condutor são perpendiculares às linhas de corrente (que, no caso, estão subindo pelas paredes laterais do corte) (ver fig 3.2)

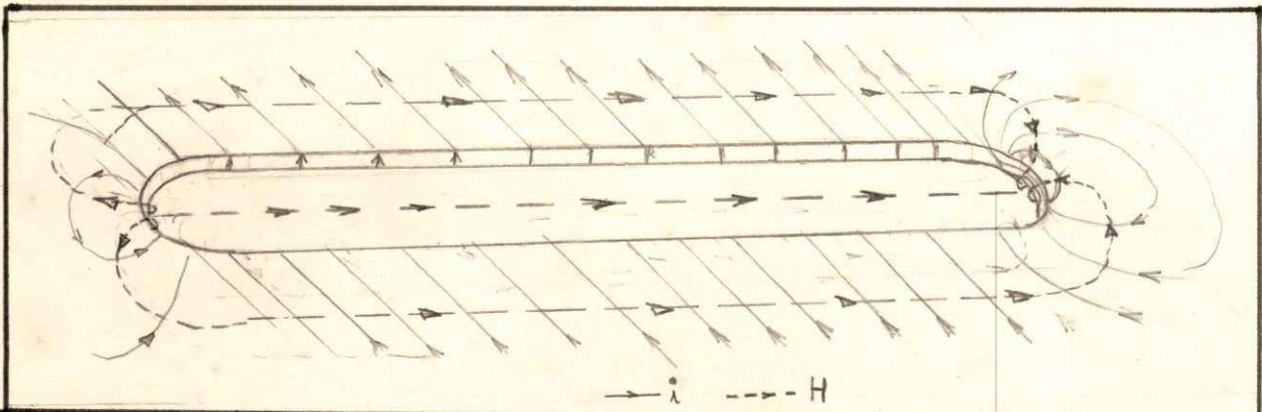


fig.3.2- Correntes e campo magnético próximos a uma ranhura perpendicular às linhas de corrente.

Façamos agora dois cortes no guia retangular como indica a figura 3.3. Este corte tem a direção de $H_z = A \cdot \cos(\pi x/a) \cdot e^{-j\beta x}$. Estamos interessados em cortar H_z máximo pois pretendemos extrair a máxima energia possível do guia retangular. Portanto faremos o corte em $x=a$ e a uma distância $(\lambda_g/4 + n\lambda_g/2)$ conforme indica a figura 3.3.

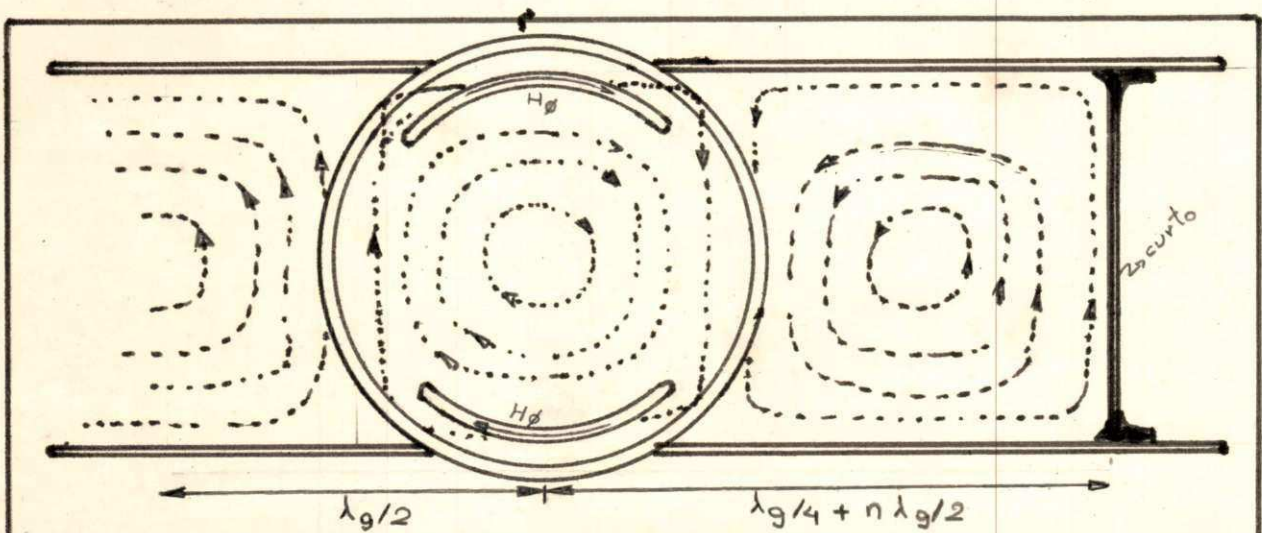
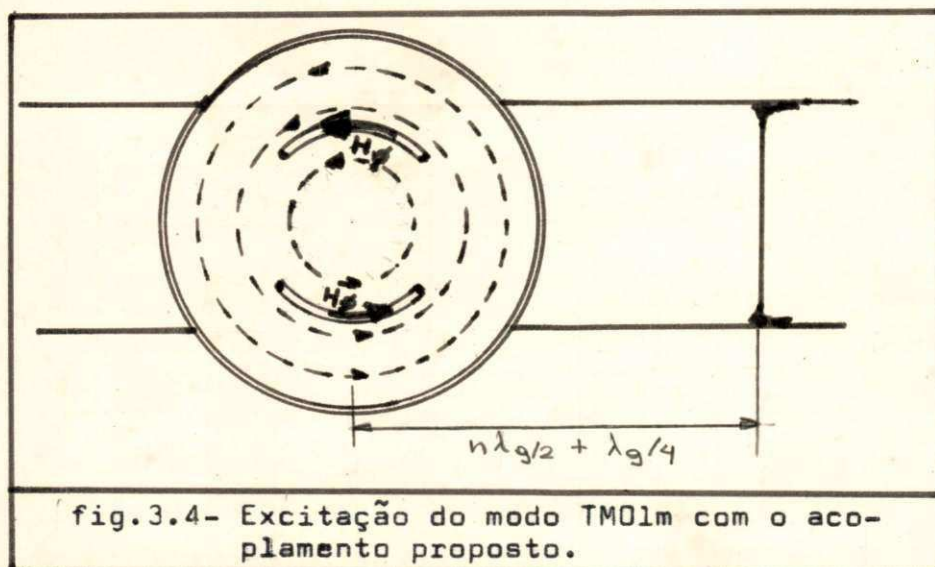


fig.3.3- Acoplador proposto para excitação do modo TM_{01m} da cavidade cilíndrica com guia retangular modo TE_{10} .

Caso a frequência de trabalho esteja fixada, poderemos construir fendas no sentido de H_x , distanciadas de meio comprimento de onda do guia retangular $(\lambda_g/2)$

Analisaremos agora quais modos de oscilação da cavidade cilíndrica podem ser excitados pelas fendas propostas.

---modo TM_{0lm} : este modo pode ser excitado pois possui somente H_ϕ e E_r que são independentes de ϕ (ver fórmula 2.). A figura 3.4 ilustra a excitação deste modo.



---modo TM_{11m} : este modo não pode ser excitado pois / os campos magnéticos de dois pontos simétricos em relação ao centro são de mesmo sentido. (fig.3.5.a)

---modo TM_{21m} : pode ser excitado pois campos magnéticos em pontos simétricos ao centro são de sentidos contrários (fig.3.5.b).

---análogamente todos os modos TM_{opm} com p par podem ser excitados, e, todos os modos TM_{oim} com n ímpar não podem ser excitados. A frequência de ressonância destes modos em geral estão acima da faixa de operação.

---modo TE_{0lm} : este modo não pode, em primeira análise, ser excitado pois só possui campo magnético radial perto das paredes planas da cavidade (fig.3.5.c).

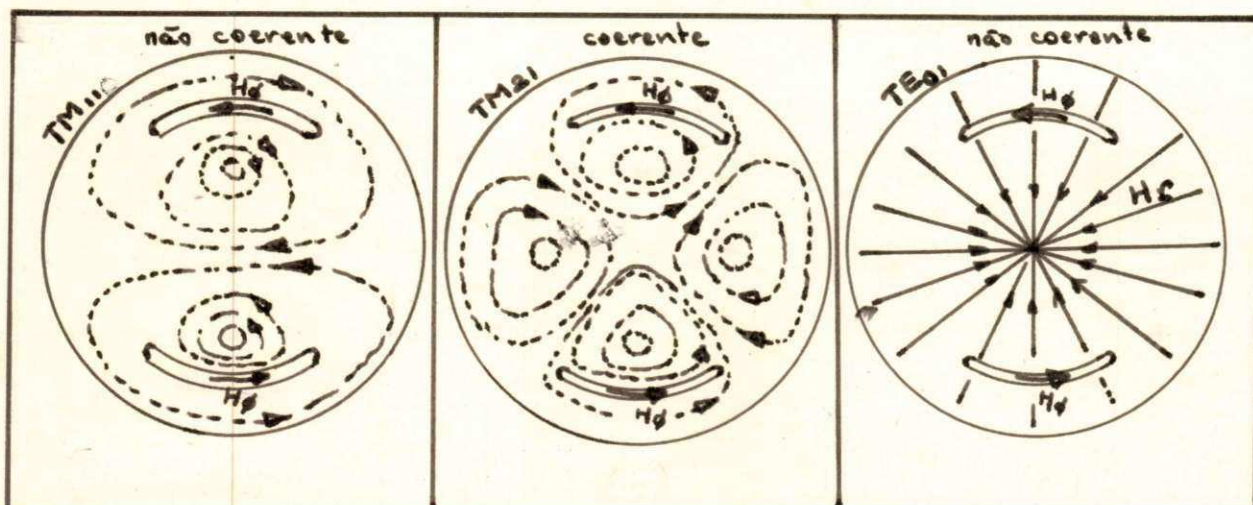


fig3.5- Excitação dos modos da cavidade com o acoplamento proposto. (a) modo TM_{11m} - não é coerente com o acoplamento. (b) modo TM_{21m} - coerente. (c) modo TE_{01m} - não coerente.

---modo TE_{11m} : não pode ser excitado por este tipo de acoplamento, pois possui, em pontos simétricos em relação ao centro, campos magnéticos com componentes/ de mesmo sentido na direção ϕ . Mesmo assim tentaremos evitar este modo dominante ao projetar as cavidades (ver cap.5). A figura 3.6.a mostra as linhas / de campo para este modo.

---modo TE_{21m} : é possível excitar-se este modo conforme mostra a 3.6.b.

Não analisaremos modos mais altos pois podem ser evitados em virtude de suas altas frequências de ressonância.

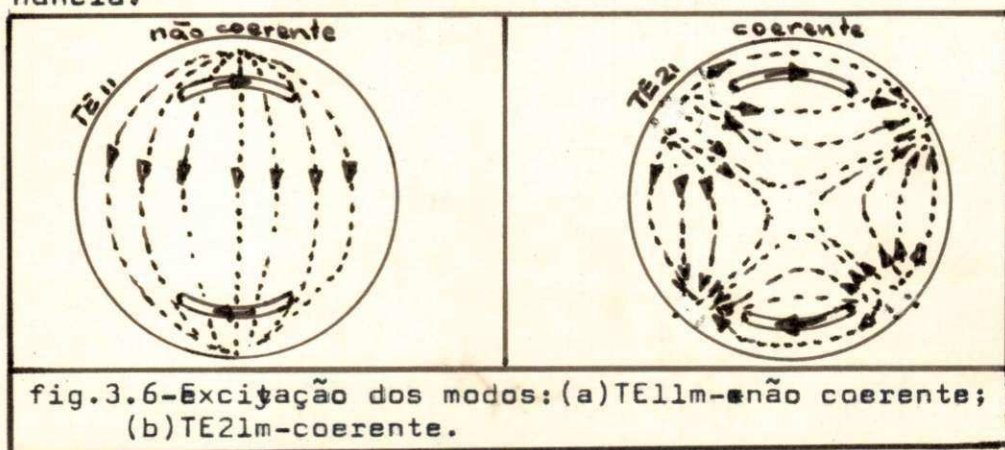
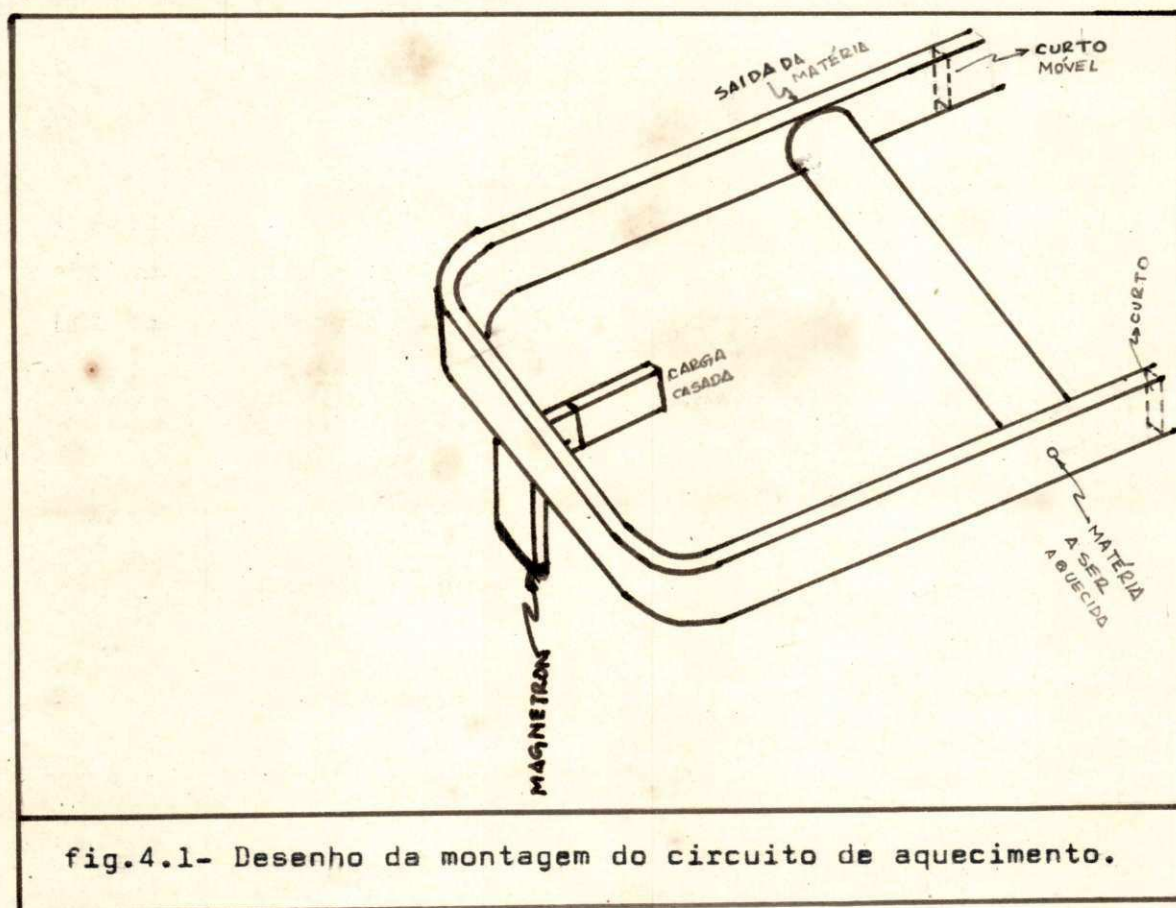


fig.3.6-Excitação dos modos: (a) TE_{11m} - não coerente; (b) TE_{21m} -coerente.

CAPITULO 4 -ANALISE DO CIRCUITO EQUIVALENTE

4.1-Introdução

Sabemos de 2.5 que o modo TM_{010} possui campo elétrico máximo no eixo central da cavidade ($r=0$). Este campo pode ser utilizado para aquecimento de líquidos ou secagem de fibras sintéticas. O esboço do equipamento está na figura 4.1. A potência fornecida pelo gerador é transmitida aos guias retangulares através de um T mágico e dos guias às cavidades pelos acopladores descritos no capítulo 3. Essa energia é consumida no aquecimento do material que fica dentro de um tubo de vidro de baixíssima condutividade e resistente ao calor.



Já vimos que para o modo TM_{010} podemos calcular um circuito equivalente RLC que represente a cavidade cilíndrica. Sabemos também que o guia de ondas retangular pode ser representado por uma linha de transmissão de impedância Z_0 qualquer que faremos igual a 1. Então se pudermos achar um circuito que represente o acoplamento guia-cavidade saberemos determinar os parâmetros de cada cavidade e cada acoplamento através de medidas da frequência de ressonância, VSWR (na ressonância), e faixa de 3 db.

Não existe ainda análise teórica para acoplamentos/ como o que vamos usar. O fato da ranhura ter formato circular e as linhas do campo magnético tangencial no guia retangular não serem circulares vai provocar uma modificação sensível na configuração do campo do guia retangular perto da ranhura. Essa modificação depende da abertura da ranhura, de seu comprimento de uma forma complicada. Outro efeito importante é a modificação / da configuração de campos no interior da cavidade. Este efeito vai depender de forma complicada do diâmetro, comprimento, dielétrico e resistência superficial da cavidade além de parâmetros do acoplamento. Apesar disso, os resultados

4.2-Circuito proposto para o acoplamento

Seja um capacitor de placas paralelas circulares de capacitância C_0 . Se fizermos um rasgo em uma das placas sabemos que a capacitância vai variar devido a mudança da área e o efeito das pontas. A diminuição da área tende a diminuir a capacitância e o poder das pontas a aumentar. Nas medidas experimentais notamos que para nossa cavidade houve diminuição de frequência ou seja aumento da capacitância calculada em 2.5.2 com a confecção da ranhura na parede plana da cavidade. Este aumento foi tanto maior quanto maior a ranhura e menor a cavidade.

O efeito do aumento da capacitância acarreta a diminuição da frequência de ressonância da cavidade. Seja C_0 a capacitância da cavidade sem ranhura e seja C a capacitância com a ranhura.

Temos: $\omega_0^2 = 1/L_0 C_0$ (freq. de ressonância sem ranhura)

$\omega^2 = 1/L_0 C$ (" " " " com " ")

$$\therefore \Delta C = C - C_0 = \frac{1}{\omega^2 L_0} - \frac{1}{\omega_0^2 L_0}$$

ou com os resultados do parágrafo 2.5.2 podemos chegar a:

$$\Delta C = \left(\frac{25}{f^2 L} \right) - \left(\frac{4,8 * 10^{-2} D^2}{L} \right) \quad \begin{array}{l} \Delta C \rightarrow \text{PF} \\ L \rightarrow \text{cm} \\ D \rightarrow \text{cm} \\ f \rightarrow \text{GHz} \end{array} \quad (4.1)$$

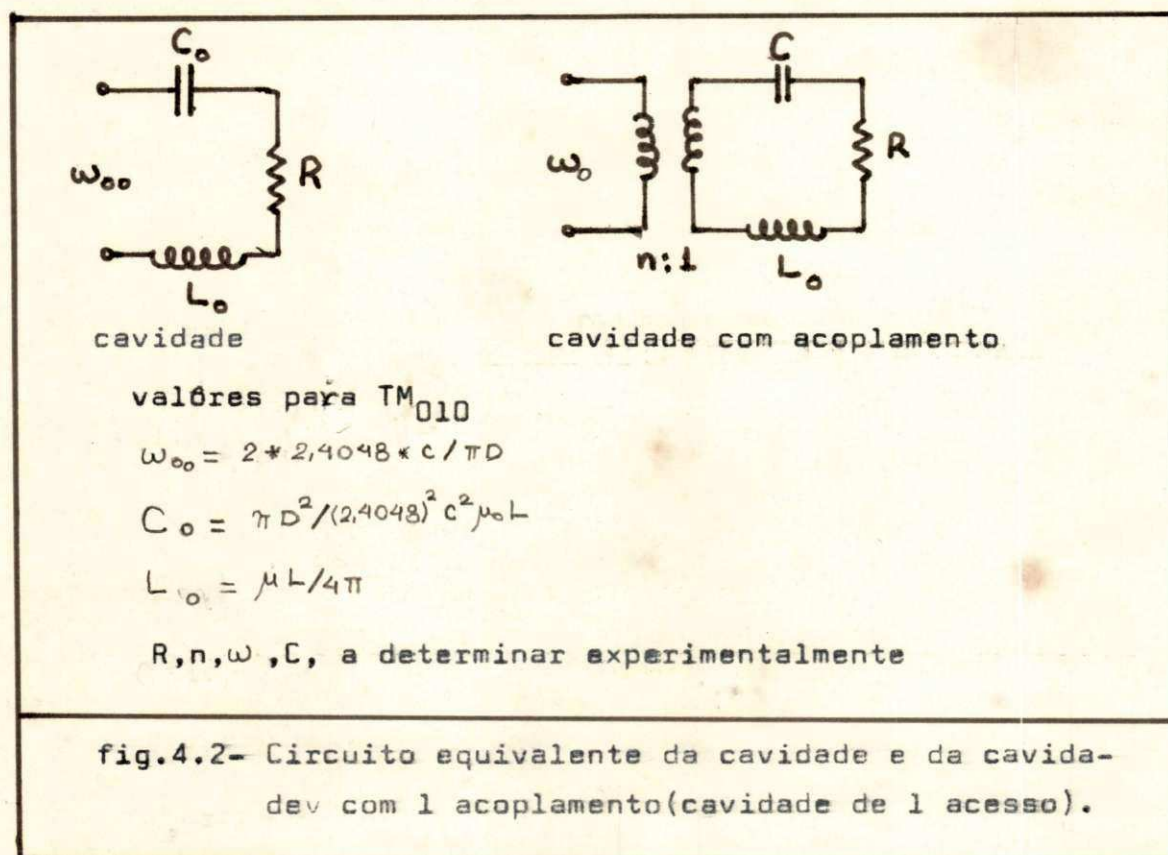
que nos dá o acréscimo de capacitância em função da frequência medida e das dimensões da cavidade.

Afora o efeito do abaixamento da frequência, o efeito mais importante do acoplamento é mudar, a medida que aumenta o comprimento da ranhura, a configuração de campos no guia retangular. Este efeito é muito importante pois, quando na ressonância da cavidade, a relação entre o campo elétrico e magnético no / guia retangular for coerente com a relação entre os campos na cavidade, toda a energia do guia retangular vai ser transmitida à cavidade. Dizemos então que o acoplamento é crítico.

Caso não exista a coerência entre os campos, uma parte da energia é refletida pela cavidade e diremos que o acoplamento é subcrítico ou sôbrecrítico conforme a impedância refletida da cavidade seja maior ou menor que a do guia.

Podemos fixar uma impedância unitária para o guia / retangular ($Z_0=1$) uma vez que ela é arbitrária devido ao fato de ser impossível achar somente uma voltagem entre dois pontos ($a \int \vec{E} \cdot d\vec{l}$ depende do caminho).

Podemos representar o acoplamento, quanto à absorção ou reflexão de energia pela cavidade, por um transformador (1:n) tal que, na ressonância, para acoplamento crítico, a impedância R da cavidade refletida no guia retangular ($R.n^2$) é igual a impedância do guia retangular ($Z_0=1$). Temos então o circuito equivalente da cavidade e acoplamento conforme a figura 4.2.



4.3- Circuito equivalente do conjunto *cavidade-guia

Pretendemos neste parágrafo analisar as condições de reflexão ou transmissão de energia do gerador para a cavidade na montagem mostrada na figura 4.1.

Considerando-se o guia como uma linha de transmissão e observando-se a figura 3.3 vemos que a parte do guia /

que tem o curto pode ser considerada como uma linha de transmissão curto-circuitada de comprimento $n\lambda_g/2 + \lambda_g/4$. Notar também que na ressonância ajustamos o curto de maneira que no acoplamento sempre temos um máximo de campo magnético na direção z ($H_z = \text{max.}$) e que conseqüentemente o campo elétrico E_y no centro do guia (para o mesmo valor de z) também é máximo ou seja, neste ponto, onde está o acoplamento, temos um máximo de ^{Voltagem} (a prova do medidor de VSWR mede o campo E_y).

Mostraremos isto matematicamente.

$$\text{Sabemos que } H_z = A \cos \frac{\pi x}{a} e^{-j\beta z}$$

no acoplamento (canto do guia) $x=a$; $z=0 \rightarrow H_z = A$ (max.)

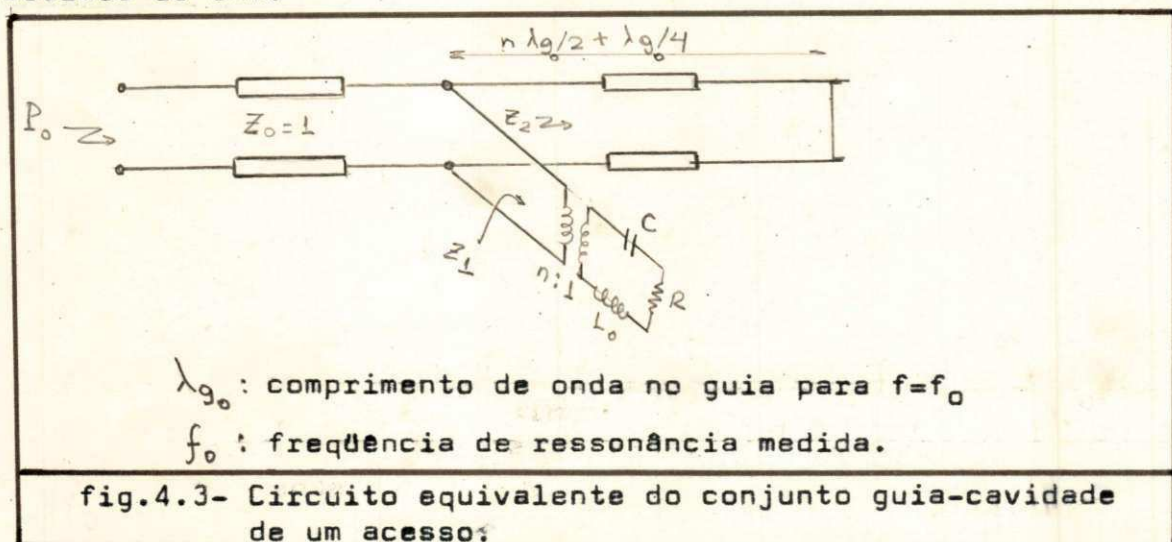
$$\text{mas } E_y = -j A Z_R \frac{\beta}{k_0} \sin \frac{\pi x}{a} e^{-j\beta z}$$

portanto no acoplamento, no centro do guia $x=a$; $z=0$

$$\Rightarrow E_y = -j A Z_R \frac{\beta}{k_0} \text{ (máximo)}$$

Podemos então agora propor o circuito equivalente / da montagem com a cavidade sem dielétrico; ver figura 4.3.

Notar que para este circuito, fora da ressonância (cavidade dessintonizada), toda a energia é refletida para o gerador, pois a cavidade está funcionando como circuito aberto. Notar também que o transformador é $n:1$ pois R é da ordem de milésimos de ohm.



4.4- Análise e simplificação do circuito

Seja Z_1 a impedância da cavidade vista pelo guia de ondas.

A impedância do circuito RLC vale: $Z = R + j(\omega L_0 - 1/\omega C)$

onde a freq. de ressonância é dada por: $\omega_0 = 1/\sqrt{L_0 C}$

então: $Z = R + j \omega_0 L (\omega/\omega_0 - \omega_0/\omega) = R [1 + j Q_0 (\frac{\omega}{\omega_0} - \frac{\omega_0}{\omega})]$

onde $\omega_0 L/R$ é o coeficiente de qualidade descarregado da cavidade (Q_0)

Como nosso valor de Q_0 é alto, podemos considerar o comportamento da impedância somente para valores próximos da frequência de ressonância e fazer certas aproximações:

$$\begin{aligned} \frac{\omega}{\omega_0} - \frac{\omega_0}{\omega} &= \frac{\omega_0 + \delta\omega}{\omega_0} - \frac{\omega_0}{\omega_0 + \delta\omega} \\ &= \frac{\omega_0^2 + 2\omega_0 \delta\omega + (\delta\omega)^2 - \omega_0^2}{\omega_0 (\omega_0 + \delta\omega)} \end{aligned}$$

$$\frac{\omega}{\omega_0} - \frac{\omega_0}{\omega} = \frac{2\delta\omega}{\omega_0} \frac{1 + \delta\omega/2\omega_0}{1 + \delta\omega/\omega_0}$$

A última expressão, quando $|\delta\omega/\omega_0|$ é bem menor que a unidade, pode ser dada aproximadamente por $2\delta\omega/\omega_0$. Assim para $\delta\omega/\omega_0 = 0,05$, representando 5% de desvio da frequência de ressonância, o erro na aproximação é de 2,5%, enquanto para 1% de desvio é cerca de 0,5%.

$$\therefore Z \approx R [1 + j 2 Q_0 \delta\omega/\omega_0] \quad (4.2)$$

A impedância Z_1 vista pelo guia vale;

$$Z_1 = n^2 Z = n^2 R [1 + j 2 Q_0 \delta\omega/\omega_0]$$

$$e \quad Y_1 = 1/Z_1 = 1/n^2 R [1 + j 2 Q_0 \delta\omega/\omega_0] \quad (4.3)$$

Estudaremos agora a admitância $Y_2 = 1/Z_2$ do pedaço de guia em curto (tôco).

$$\text{Sabemos que: } Z_2 = j Z_0 \tan \beta l \quad \text{onde: } \begin{cases} l = n \lambda_{g_0}/2 + \lambda_{g_0}/4 \\ \beta = 2\pi/\lambda_g \end{cases}$$

$$\text{ou: } Y_2 = -j Y_0 \cot \beta l \quad \text{onde: } Z_0 = Y_0 = 1$$

Temos:

$$\beta l = \frac{2\pi}{\lambda_g} \cdot (n \lambda_{g_0}/2 + \lambda_{g_0}/4)$$

na ressonância:

$$\beta_0 l = \frac{2\pi}{\lambda_{g_0}} (n \lambda_{g_0}/2 + \lambda_{g_0}/4) = (n\pi + \pi/2)$$

mas:

$$\beta l = l \sqrt{\omega^2 \mu_0 \epsilon_0 - (\pi/a)^2}$$

$$\beta l = l \sqrt{(\omega_0 + \delta\omega)^2 \mu_0 \epsilon_0 - (\pi/a)^2}$$

$$\beta l = l \sqrt{\omega_0^2 (1 + \delta\omega/\omega_0)^2 \mu_0 \epsilon_0 - (\pi/a)^2}$$

$$\beta l \approx l \sqrt{\omega_0^2 \mu_0 \epsilon_0 (1 + 2\delta\omega/\omega_0) - (\pi/a)^2}$$

fazendo:

$$k_0^2 = \omega_0^2 \mu_0 \epsilon_0$$

e vendo que : $\beta_0^2 = \omega_0^2 \mu_0 \epsilon_0 - (\pi/a)^2$

vem : $\beta l \approx l \sqrt{\beta_0^2 + k_0^2 2\delta\omega/\omega_0}$

$$\beta l \approx \beta_0 l \sqrt{1 + \frac{k_0^2}{\beta_0^2} \frac{2\delta\omega}{\omega_0}}$$

$$\boxed{\beta l \approx \beta_0 l \left[1 + \frac{k_0^2}{\beta_0^2} \frac{\delta\omega}{\omega_0} \right]}$$

(4.4)

$$\text{ou : } \beta l = (n\pi + \pi/2) \left[1 + \frac{K_0^2}{\beta_0^2} \frac{\delta\omega}{\omega_0} \right]$$

$$\cotg \beta l = \cotg \left[(n\pi + \pi/2) + (n\pi + \pi/2) \frac{K_0^2}{\beta_0^2} \frac{\delta\omega}{\omega_0} \right]$$

mas, $\cotg((n\pi + \pi/2) + a) \simeq a$ quando $a \ll 1$.

$$\therefore \cotg \beta l \simeq -(n\pi + \pi/2) \frac{K_0^2}{\beta_0^2} \frac{\delta\omega}{\omega_0}$$

$$\text{e } Y_2 = -j \cotg \beta l \simeq j (n\pi + \pi/2) \frac{K_0^2}{\beta_0^2} \frac{\delta\omega}{\omega_0}$$

$$\text{fazendo : } K_2 = (n\pi + \pi/2) \frac{K_0^2}{\beta_0^2} \frac{1}{\omega_0}$$

$$\text{vem : } \boxed{Y_2 = j K_2 \delta\omega} \quad (4.5)$$

Seria o efeito do curto desprezível? Para sabermos isto devemos comparar como variam Y_1 e Y_2 em função do desvio de frequência. Se a variação de Y_1 for bem maior que a variação de Y_2 , o efeito do curto pode ser desprezado com pequenas variações de frequência, ao redor da ressonância.

$$\text{Sabemos que : } Y_1 = \frac{1}{R(1 + j \frac{2Q_0 \delta\omega}{\omega_0}) n^2} = \frac{1 - j 2Q_0 \delta\omega/\omega_0}{n^2 R (1 + 4Q_0^2 \delta\omega^2/\omega_0^2)}$$

$$\text{e que : } \text{Re}[Y_1] = 1/n^2 R (1 + 4Q_0^2 \delta\omega^2/\omega_0^2)$$

$$\text{Im}[Y_1] = -(2Q_0 \delta\omega/\omega_0) / n^2 R (1 + 4Q_0^2 \delta\omega^2/\omega_0^2)$$

A parte imaginária de Y_1 vai ser somada à admitância do tóco para sabermos a parte imaginária da admitância do conjunto.

Comparemos os dois valores :

$$\frac{\operatorname{Im}(y_1)}{y_2} = \frac{-j \frac{2Q_0}{\omega_0} \delta\omega}{n^2 R \left(1 + \frac{4Q_0^2}{\omega_0^2} \delta\omega^2\right) \cdot j(n\pi + \pi/2) \frac{k_0^2}{\beta_0^2} \frac{1}{\omega_0}} \quad (4.6)$$

Para valores típicos :

- $Q_0 > 10^3$
- $\omega_0 \approx 2\pi \cdot 9 \cdot 10^9$ hertz
- $n^2 R = \text{VSWR} < 20$
- $\delta\omega < 0,05 \omega_0$ (5%)
- $(n\pi + \pi/2) < 10$
- $\frac{k_0^2}{\beta_0^2} < 3$

vem :

$$\left| \frac{\operatorname{Im}(y_1)}{y_2} \right| > 10^6 \quad (4.7)$$

ou seja; podemos na prática desprezar totalmente o efeito do curto desde que o desvio de frequência em relação à frequência de ressonância seja pequeno.

Portanto o conjunto cavidade-guia pode ser representado pelo circuito equivalente da figura 4.4.

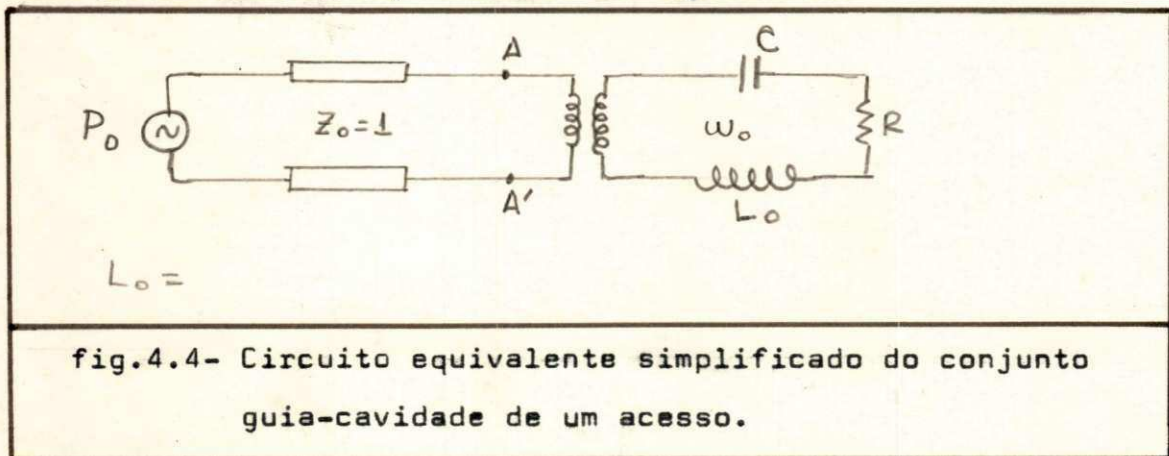


fig.4.4- Circuito equivalente simplificado do conjunto guia-cavidade de um acesso.

4.5-Determinação dos parâmetros da cavidade e acoplamento

4.5.1: Introdução

Neste parágrafo mostraremos que a cavidade e o acoplamento ficam completamente determinados ao medirmos as suas / dimensões, frequência de ressonância, VSWR na ressonância e a faixa de frequência em que a energia armazenada cai à metade.

Seja U a energia armazenada no circuito e P a potência dissipada por radiano nas várias partes do circuito. Podemos definir o coeficiente de qualidade carregado Q_L

$$Q_L = U/P = \frac{1/2 L i^2 \times \omega_0}{\frac{1}{2} R i^2 + \frac{1}{2} i^2 \frac{Z_0}{n^2}}$$

$$Q_L = \frac{\omega_0 L}{(R + 1/n^2)} = \frac{\omega_0 L}{R(1 + \frac{1}{n^2 R})}$$

definindo :

$$\beta = L/n^2 R \quad (4.8)$$

e vendo que: $Q_0 = \omega_0 L/R$

$$\text{vem : } Q_L = Q_0 / (1 + \beta) \quad (4.9)$$

Chamaremos Γ o coeficiente de reflexão no ponto AA' da figura 4.5. Então,

$$\Gamma = \frac{Z_1 - Z_0}{Z_1 + Z_0} \quad (4.10)$$

Chamaremos S o VSWR no guia retangular.

4.5.2- Cálculo do coeficiente de reflexão

Usando as fórmulas 4.2 e 4.10 temos :

$$\Gamma = \frac{n^2 R (1 + 2j (Q_0 \delta\omega/\omega_0)) - 1}{n^2 R (1 + 2j (Q_0 \delta\omega/\omega_0)) + 1}$$

$$\Gamma = \frac{1 + 2j Q_0 \delta\omega/\omega_0 - \beta}{1 + 2j Q_0 \delta\omega/\omega_0 + \beta} * \frac{(1+\beta) - j 2 Q_0 \delta\omega/\omega_0}{(1+\beta) - j 2 Q_0 \delta\omega/\omega_0}$$

fazendo : $x = 2 Q_0 \delta\omega/\omega_0$

vem :
$$\Gamma = \frac{(1-\beta)(1+\beta) - jx(1-\beta) + jx(1+\beta) + x^2}{(1+\beta)^2 + x^2}$$

ou :
$$\Gamma = \frac{(1-\beta^2+x^2) + 2jx\beta}{[(1+\beta)^2 + x^2]} \quad (4.11)$$

4.5.3- Cálculo da potência absorvida

Seja P_a a potência absorvida pela cavidade e P_o a potência do gerador. Então temos :

$$P_a = P_o * [1 - |\Gamma|^2]$$

mas :
$$1 - |\Gamma|^2 = \frac{[(1+\beta)^2 + x^2]^2 - [(1-\beta^2+x^2)^2 + 4x^2\beta^2]}{[(1+\beta)^2 + x^2]^2}$$

numerador = $(1+\beta)^4 + x^4 + 2x^2(1+\beta)^2 - 1 - \beta^4 - x^4 + 2\beta^2 - 2x^2 - 2x^2\beta^2 + 4x^2\beta^2$

numerador = $(1+\beta^2+2\beta)^2 + 2x^2(1+\beta^2+2\beta) - 1 - \beta^4 + 2\beta^2 - 2x^2 - 2x^2\beta^2$

numerador = $1 + \beta^4 + 4\beta^2 + 2\beta^2 + 4\beta + 4\beta^3 + 2x^2 + 2x^2\beta^2 + 4x^2\beta - 1 - \beta^4 + 2\beta^2 - 2x^2 - 2x^2\beta^2$

$$\text{ou : } P_A = \frac{[8\beta^2 + 4\beta^3 + 4\beta + 4x^2\beta] P_0}{[(1+\beta)^2 + x^2]^2}$$

$$P_A = \frac{4\beta [(\beta+1)^2 + x^2] P_0}{[(\beta+1)^2 + x^2]^2}$$

$$P_A = P_0 \frac{4\beta}{(1+\beta)^2 + 4Q_0^2 \left(\frac{\delta\omega}{\omega_0}\right)^2}$$

$$P_A = P_0 \frac{4\beta}{(1+\beta)^2 \left\{ 1 + \frac{4Q_0^2}{(1+\beta)^2} \left(\frac{\delta\omega}{\omega_0}\right)^2 \right\}} \quad (4.12)$$

Portanto a energia absorvida na cavidade é máxima para $\beta = 1$ (acoplamento crítico) e para $\delta\omega = 0$ (ressonância).

A medida que variamos a frequência a potência absorvida pela cavidade diminui. É possível medir experimentalmente o desvio de frequência para esta potência cair à metade. Este desvio nos vai dar condições para calcular o Q_L do circuito.

Quando P_A cai à metade temos :

$$\frac{4Q_0^2}{(1+\beta^2)} \left(\frac{\delta\omega}{\omega_0}\right)^2 = 1 \quad \text{onde } \delta\omega \Rightarrow P_A \text{ cai à metade}$$

$$\text{ou } \frac{\omega_0}{2\delta\omega} = \frac{Q_0}{(1+\beta)} = Q_L \quad (4.13)$$

Isto mostra que o coeficiente de qualidade carregado é uma medida da absorção de potência proveniente de uma fonte de potência constante. Se for possível medir a potência absorvida sem carregar significativamente a cavidade, a faixa ($2\delta\omega$) em que P_a cai de 3 db, juntamente com f_0 , nos dará o fator de qualidade carregado (Q_L). além disso se for possível medir a potência absorvida na ressonância, a cavidade pode ser completamente resolvida (P_0 é suposto conhecido).

No entanto, não é desejável inserir provas ou loops na cavidade pois haverá alteração, em geral, dos parâmetros devido a alteração provocada nos campos do interior da cavidade.

Conseqüentemente é vantajoso o comportamento em frequência da potência refletida, que é facilmente medida usando um acoplador direcional.

4.5.4- Potência refletida

Chamemos P_r a potencia refletida para o gerador pela cavidade. Temos ;

$$P_r = P_0 - P_a$$

$$P_r = P_0 \left\{ 1 - \frac{4\beta}{(1+\beta)^2 \left[1 + \frac{4Q_0^2}{(1+\beta)^2} \left(\frac{\delta\omega}{\omega_0} \right)^2 \right]} \right\}$$

Longe da ressonância temos : $P_r = P_0$

Na ressonância temos : $P_r = P_0 \left\{ 1 - \frac{4\beta}{(1+\beta)^2} \right\}$

A queda de potência é : $\Delta P_r = \frac{4\beta}{(1+\beta)^2}$

Metade da queda de potência é : $\frac{\Delta P_r}{2} = \frac{4\beta}{(1+\beta)^2 \{1+1\}}$

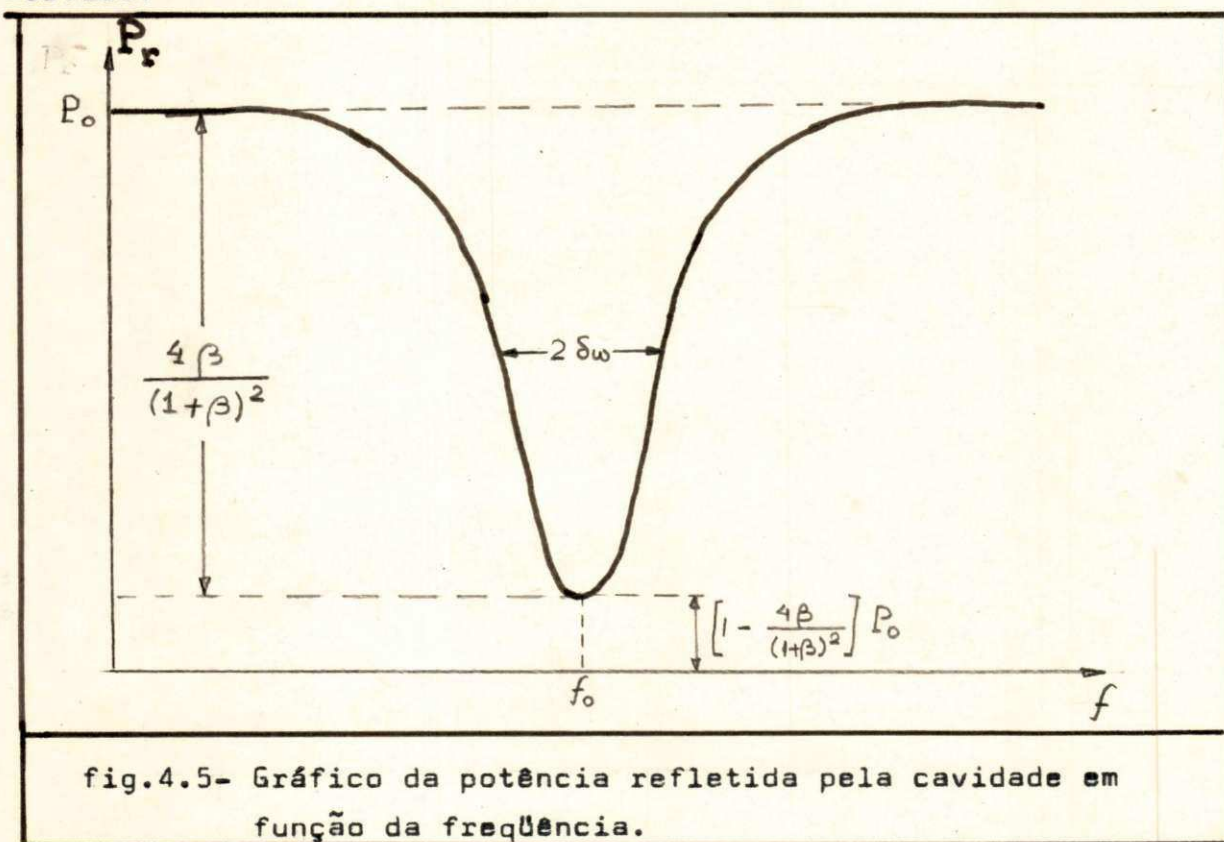
e isto ocorre quando : $1 = \frac{4Q_0^2 \delta\omega^2}{(1+\beta)^2 \omega_0^2}$

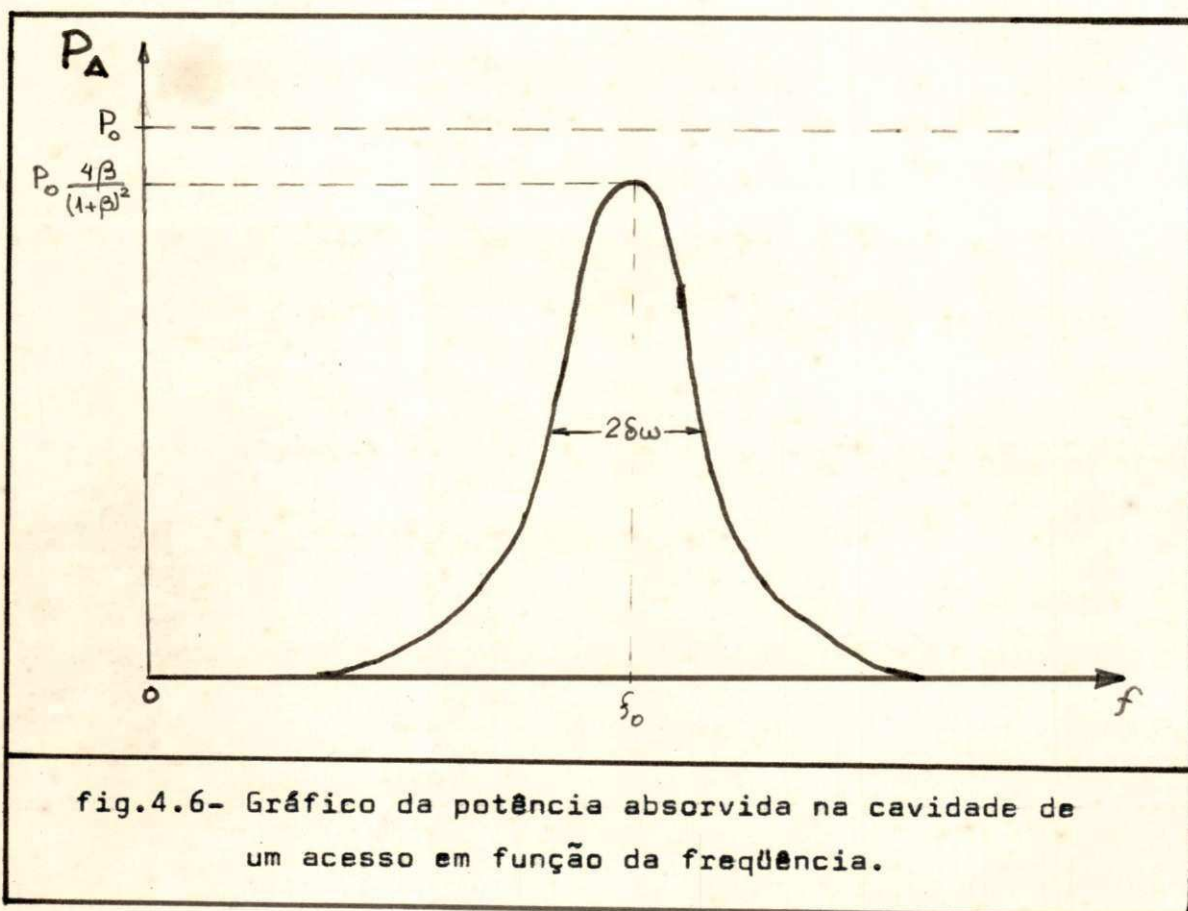
ou seja : $\frac{\omega_0}{2\delta\omega} = \frac{Q_0}{(1+\beta)} = Q_L$ (4.14)

Portanto a faixa de frequência para a qual temos metade da queda de potência total, juntamente com a frequência de ressonância, nos dará o fator de qualidade (Q_L) do circuito.

A potência refletida na ressonância é : $P_{r_0} = P_0 \left[\frac{1-\beta}{1+\beta} \right]^2$

Na figura 4.5 está esquematizado o comportamento em frequência da potência refletida, e, na figura 4.6 o da potência absorvida:





4.5.5-Coeficiente de onda estacionária no guia.

Temos :
$$S = \frac{1 + |\Gamma|}{1 - |\Gamma|}$$

$$S = \frac{(1+\beta)^2 + \alpha^2 + \sqrt{(1-\beta^2 + \alpha^2)^2 + 4\alpha^2\beta^2}}{(1+\beta)^2 + \alpha^2 - \sqrt{(1-\beta^2 + \alpha^2)^2 + 4\alpha^2\beta^2}} \quad \text{com } \beta = \frac{1}{n^2 R} \quad (4.15)$$

Na ressonância $\alpha=0$, e notando que $0 < \beta < \infty$ e $S > 1$ podemos escolher o sinal da raiz e temos :

$$S_0 = \frac{2(1+\beta)}{2\beta(1+\beta)} = \frac{1}{\beta} \quad \text{quando } \beta < 1 \quad (\text{subcrítico})$$

$$S_0 = \frac{2\beta(1+\beta)}{2(1+\beta)} = \beta \quad \text{quando } \beta > 1 \quad (\text{sobre-crítico})$$

(4.16)

4.5.6-Cálculo do fator de acoplamento(β)

Uma vez conhecido VSWR na ressonância basta sabermos o tipo de acoplamento(sub ou sôbrecrítico)para determinarmos β .

Sabemos de 4.5.2 que o coeficiente de reflexão

$$\Gamma = \frac{(1 - \beta^2 + \alpha^2) + 2j\alpha\beta}{[(1 + \beta)^2 + \alpha^2]} \quad (4.17)$$

Na ressonância :

$$\Gamma_0 = \frac{(1 - \beta^2)}{(1 + \beta^2)}, \text{ ou seja,}$$

Γ é real; se $\beta < 1$ (subcrítico) $\Gamma_0 > 0$; se $\beta = 1$ (crítico) $\Gamma_0 = 0$; se $\beta > 1$ (sôbrecrítico) $\Gamma_0 < 0$.

O comportamento de Γ com a frequência, para os três casos é mostrado na figura 4.7. Notar que longe da ressonância ($\alpha = -\infty$ ou $\alpha = \infty$) $\Gamma = +1$

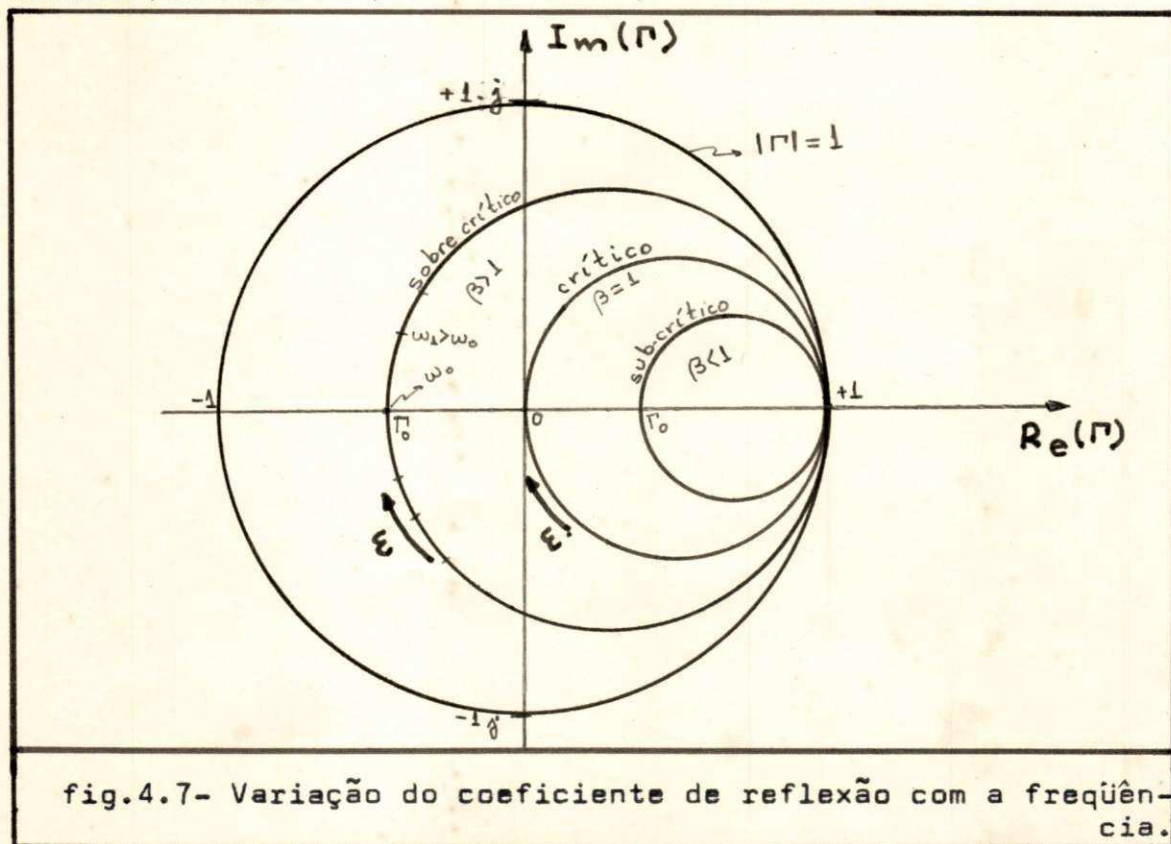
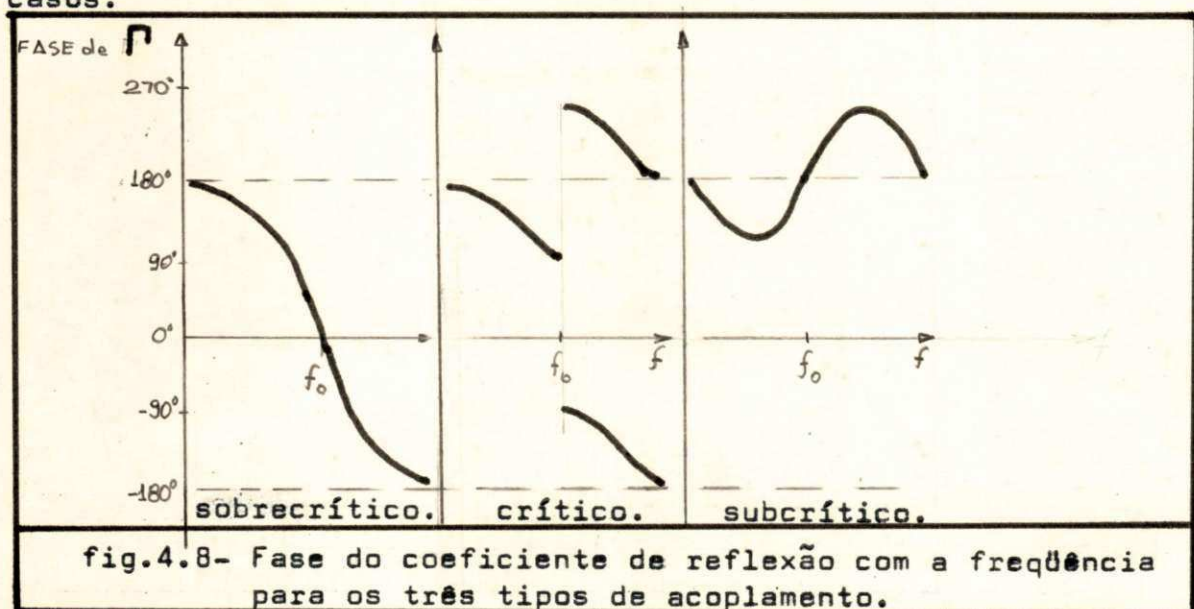


fig.4.7- Variação do coeficiente de reflexão com a frequência.

A fase do coeficiente de reflexão para os três casos está mostrada na figura 4.8. As curvas são obtidas plotando-se as fases de Γ em função da frequência ao redor da frequência de ressonância, utilizando-se a figura 4.8. Para acoplamento crítico existe uma discontinuidade que é o limite dos dois casos.



Sabemos que a fase do coeficiente de reflexão é relacionada com a posição do mínimo de voltagem. Podemos então usar a figura 4.9 para obter um método para determinar se a cavidade é sub ou sobreacoplada. Basta localizar um mínimo de voltagem com frequência abaixo da ressonância e estudar o deslocamento do mínimo a medida que a frequência aumenta. Para acoplamento sobrecrítico o mínimo muda continuamente em direção à carga. Para acoplamento subcrítico a localização do mínimo primeiramente muda em direção à carga, depois em direção à fonte e novamente em direção ao gerador.

Finalmente	$\beta = 1/S_0$ subcrítico
	$\beta = S_0$ sobrecrítico

4.5.7-Cálculo do fator de qualidade descarregado(Q_0)

DE 4.5.1 obtemos:
$$Q_0 = Q_L \cdot (1 + \beta) \quad (4.18)$$

4.5.8-Cálculo da resistência equivalente R

De 4.4 vem:
$$R = \omega_0 L_{eq} / Q_0 \quad (4.19)$$

$$L_{eq} = 10^{-9} \text{ H/cm} \cdot L$$

4.5.9-Cálculo da relação de espiras do transformador

De 4.5.1 vem: $\beta = 1/n^2 R$ ou
$$\eta = 1/\sqrt{\beta R} \quad (4.20)$$

4.5.10-Cálculo da resistência superficial(R_s), profundidade de penetração(δ), condutividade(σ).

De 2.5.2:
$$R = R_s \frac{(a+L)}{2\pi a} = \frac{\delta \omega \mu_0 (a+L)}{4\pi a}$$

ou:
$$R_s = \frac{2 a R}{(D/2 + L)} \quad (4.21)$$

e
$$\delta = \frac{4\pi a R}{\omega_0 \mu_0} \frac{a}{(a+L)} \quad (4.22)$$

mas: $R_s = \sqrt{\omega_0 \mu_0 / 2\sigma}$

então:
$$\sigma = \frac{\omega_0 \mu_0 (a+L)^2}{8\pi a^2 \cdot R^2} \quad (4.23)$$

4.6-Determinação dos parâmetros para modo TM_{01m}

O procedimento é idêntico ao para o modo TM_{010} . Como já conhecemos a condutividade basta medir a frequência de ressonância e determinar o fator de acoplamento(β).

Então temos para o modo TM_{01m} :

$$R = \sqrt{\frac{\omega_0 \mu}{2\sigma}} \frac{(D/2 + L)}{\pi D} \quad (4.24)$$

$$n = 1/\beta R' \quad (4.25)$$

$$L_{eq} = \mu_0 \frac{(D/2 + L)}{(D + L)} \cdot L \quad (4.26)$$

$$\Delta C = C - C_0 \quad (4.27)$$

onde

$$C_0 = \frac{(D + L)}{\pi^2 c^2 \left[\left(\frac{2 \cdot 2,405}{\pi D} \right)^2 + \left(\frac{m}{L} \right)^2 \right] \mu_0 (D/2 + L) L} \quad (4.28)$$

$$C = \frac{1}{\omega_0^2 L_{eq}} \quad (4.29)$$

- | | |
|-------------------------|---------------------------------|
| $\frac{\omega_0}{2\pi}$ | é a frequência de ressonância |
| L | é o comprimento da cavidade. |
| D | é o diâmetro da cavidade. |
| c | é a velocidade da luz no vácuo. |

4.7-Análise da cavidade de dois acessos.

No projeto final serão usadas cavidades de dois acessos e para analisá-las precisamos fazer modificações em relação à de um acesso. A figura 4.10 mostra o circuito equivalente correspondente à montagem da figura 4.1, tendo-se desprezado a influência dos curtos do guia retangular.

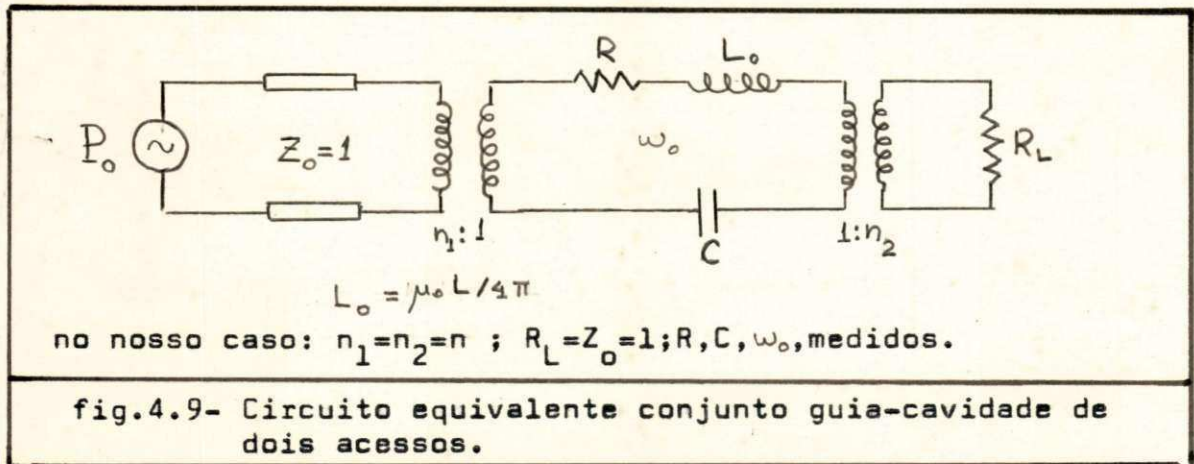


fig.4.9- Circuito equivalente conjunto guia-cavidade de dois acessos.

Seja $\beta_1 = 1/n_1^2 R$ e $\beta_2 = R_L/n_2^2 R$

$$Q_L = \omega_0 \frac{\text{energia armazenada}}{\text{potência dissipada por radiano}}$$

$$Q_L = \frac{\omega_0 L}{R + \frac{1}{n_1^2} + \frac{R_L}{n_2^2}} = \frac{\omega_0 L/R}{1 + \frac{1}{n_1^2 R} + \frac{R_L}{n_2^2 R}}$$

$$Q_L = \frac{Q_0}{1 + \beta_1 + \beta_2}$$

(4.30)

Do ponto de vista da potência refletida, tudo se passa como se houvesse uma cavidade de reação com resistência i igual a $R + R_L/n_2^2$. Então podemos obter as fórmulas para Γ , VSWR, P_r , fazendo $\beta = \beta_1 + \beta_2$. Sendo assim temos por comparação com os resultados de 4.5 :

$$\Gamma = \frac{[1 - (\beta_1 + \beta_2)^2 + \chi^2] + 2j\chi(\beta_1 + \beta_2)}{[(1 + \beta_1 + \beta_2)^2 + \chi^2]} \quad (4.31)$$

$$P_r = P_o \left\{ 1 - \frac{4(\beta_1 + \beta_2)}{(1 + \beta_1 + \beta_2)^2 \left[1 + \frac{4Q_o^2}{(1 + \beta_1 + \beta_2)^2} \left(\frac{\delta\omega}{\omega_o} \right)^2 \right]} \right\} \quad (4.32)$$

na ressonância: $P_r = P_o \left\{ 1 - \frac{4(\beta_1 + \beta_2)}{(1 + \beta_1 + \beta_2)^2} \right\} \quad (4.33)$

na ressonância: $S_o = \begin{cases} 1/(\beta_1 + \beta_2) & \text{se } (\beta_1 + \beta_2) < 1 \text{ subcrítico} \\ (\beta_1 + \beta_2) & \text{se } (\beta_1 + \beta_2) > 1 \text{ sobrecrítico} \end{cases}$

Mas agora a potência que não é refletida não vai ser totalmente absorvida na cavidade. Uma parte vai ser absorvida na cavidade (P_a) e a outra parte vai ser transmitida ao outro guia (P_t).

temos então : $P_a + P_t = \frac{4(\beta_1 + \beta_2)}{(1 + \beta_1 + \beta_2)^2 \left[1 + \frac{4Q_o^2}{(1 + \beta_1 + \beta_2)^2} \left(\frac{\delta\omega}{\omega_o} \right)^2 \right]}$

$$\text{mas : } \frac{P_a}{P_t} = \frac{R i^2}{\frac{R_L}{n_2^2} i^2} = \frac{R n_2^2}{R_L} = \frac{1}{\beta_2}$$

$$\text{ou : } \frac{P_a + P_t}{P_t} = \frac{1 + \beta_2}{\beta_2} \quad \text{e : } P_t = \frac{\beta_2}{1 + \beta_2} (P_a + P_t)$$

$$\therefore P_t = P_0 \frac{4 (\beta_1 + \beta_2) \cdot \beta_2}{(1 + \beta_2) (1 + \beta_1 + \beta_2)^2 \left[1 + \frac{4 Q_0^2}{(1 + \beta_1 + \beta_2)^2} \left(\frac{\delta \omega}{\omega_0} \right)^2 \right]} \quad (4.34)$$

É fácil ver que na ressonância a potência transmitida é máxima e vale :

$$P_t = P_0 \frac{4 (\beta_1 + \beta_2) \beta_2}{(1 + \beta_2) (1 + \beta_1 + \beta_2)^2}$$

Para a potencia transmitida na ressonância cair à metade é necessário que :

$$\frac{4 Q_0^2}{(1 + \beta_1 + \beta_2)^2} \left(\frac{\delta \omega}{\omega_0} \right)^2 = 1 \quad \Rightarrow \quad \frac{\omega_0}{2 \delta \omega} = \frac{Q_0}{1 + \beta_1 + \beta_2} = Q_L \quad (4.35)$$

Portanto a faixa de frequência para a qual a potência transmitida cai à metade, juntamente com a frequência de ressonância nos dá o fator de qualidade carregado do circuito.

No nosso caso temos :

$$R_L = Z_0 = 1 \quad \text{e} \quad n_1 = n_2 = n \quad \text{vem} \quad \beta = \beta_1 = \beta_2 = \frac{1}{n^2 R}$$

$$P_T = P_0 \frac{8 \beta^2}{(1+\beta)(1+2\beta)^2 \left[1 + \frac{4 Q_0^2}{(1+2\beta)^2} \left(\frac{\Delta \omega}{\omega_0} \right)^2 \right]} \quad (4.36)$$

$$Q_L = \frac{Q_0}{1+2\beta}$$

$$L_0 = \frac{\mu_0}{4\pi} L$$

(4.37) e (4.38)

na ressonância :

$$S_0 = \begin{cases} \rightarrow 1/2 \beta & \text{subcrítico} \\ \rightarrow 2\beta & \text{sobre-crítico} \end{cases}$$

e então a medida de f_0 , Q_L , β nos dará os parâmetros da cavidade de dois acessos.

$$\text{PERDA DE INSERÇÃO: } P_L = 10 \log(P_0/P_T) \quad (4.39)$$

4.8-0 acoplamento para linha de transmissão.

Caso a cavidade seja muito longa e as perdas da matéria a aquecer forem grandes, é possível que não chegue potência significativa na outra parede da cavidade e então tudo se passa como se a cavidade fosse uma linha de transmissão com perdas. O estudo do acoplamento ideal para este caso será feito experimentalmente.

CAPITULO 5

PROJETOS DAS CAVIDADES, CIRCUITOS E TECNICAS DE MEDIDA

5.1:0 projeto das cavidades

Apresentaremos neste parágrafo o projeto das cavidades para medida dos parâmetros no modo TM_{010} . O projeto deve levar em conta o equipamento disponível e os modos espúrios de oscilação (TE_{11m} e TM_{01m}).

O projeto para aquecimento deve levar em conta a matéria a ser aquecida, potência e equipamento necessário, frequência requerida e não será tratado neste trabalho.

5.1.1-Cálculo da frequência de ressonância.

A frequência de ressonância no modo TM_{010} só depende do diâmetro da cavidade e acoplamento (no nosso caso tende a diminuir a frequência calculada-).

Temos:
$$f_{00} = \frac{2,4048 c}{\pi D} \quad (5.1)$$

c=vel. da luz vácuo.
D=diâmetro da cavidade
 f_0 =freq.de ressonância

No nosso caso $D=2,42\text{cm}$ e $f_0=9,48\text{ GHz}$, ou seja, projetamos D de modo que a frequência de ressonância esteja dentro dos limites de nosso gerador de varredura e de nosso medidor de frequência.

5.1.2-Cálculo do comprimento da cavidade.

Agora que possuímos o diâmetro podemos traçar a carta de modos específica. Usamos a equação obtida em 2.4 |

$$f_{00} = \frac{10}{D} \left\{ \frac{9(xna)^2}{\pi^2} + \frac{9m^2 D^2}{4L^2} \right\}^{1/2} \quad (5.2)$$

Plotamos então um gráfico de $f_{00} * L$ para D fixo (ver figura 5.1 para $D=2,42$ cm). Pode-se notar que os únicos modos que podem interferir com o TM_{010} são o TE_{11m} e o TM_{01m} . Os outros modos tem frequência de ressonância bem acima da frequência do TM_{010} ($TM_{110}=16$ GHz ; TE_{211} acima de 18 GHz ; TM_{210} e TE_{011} acima de 20 GHz).

A diferença entre as frequências de ressonância dos modos TM_{010} e TM_{011} limita o máximo comprimento da cavidade (nosso caso 20 cm)

Projetamos os diversos comprimentos das cavidades de maneira a deixar as ressonâncias espúrias o mais longe possível da frequência do TM_{010} .

No nosso caso faremos cavidades de comprimentos : 1,5cm;4,0cm;6,0cm;8,0cm;11cm;13cm;16cm.

Notar que com a figura 5.1 podemos identificar qual o modo de uma frequência de ressonância medida (como nossas medidas serão feitas com a potência refletida é o unico meio de identificar um modo).

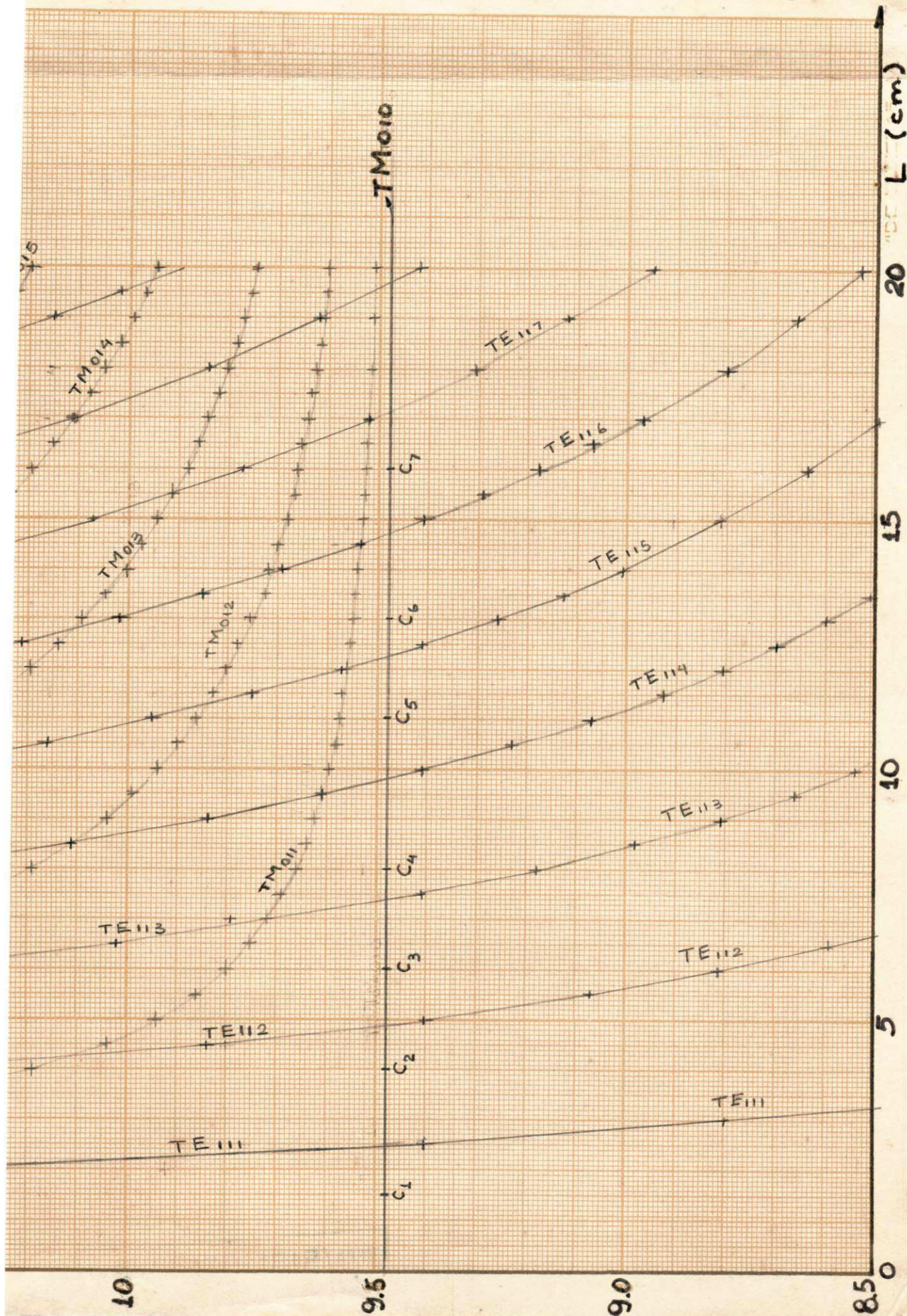
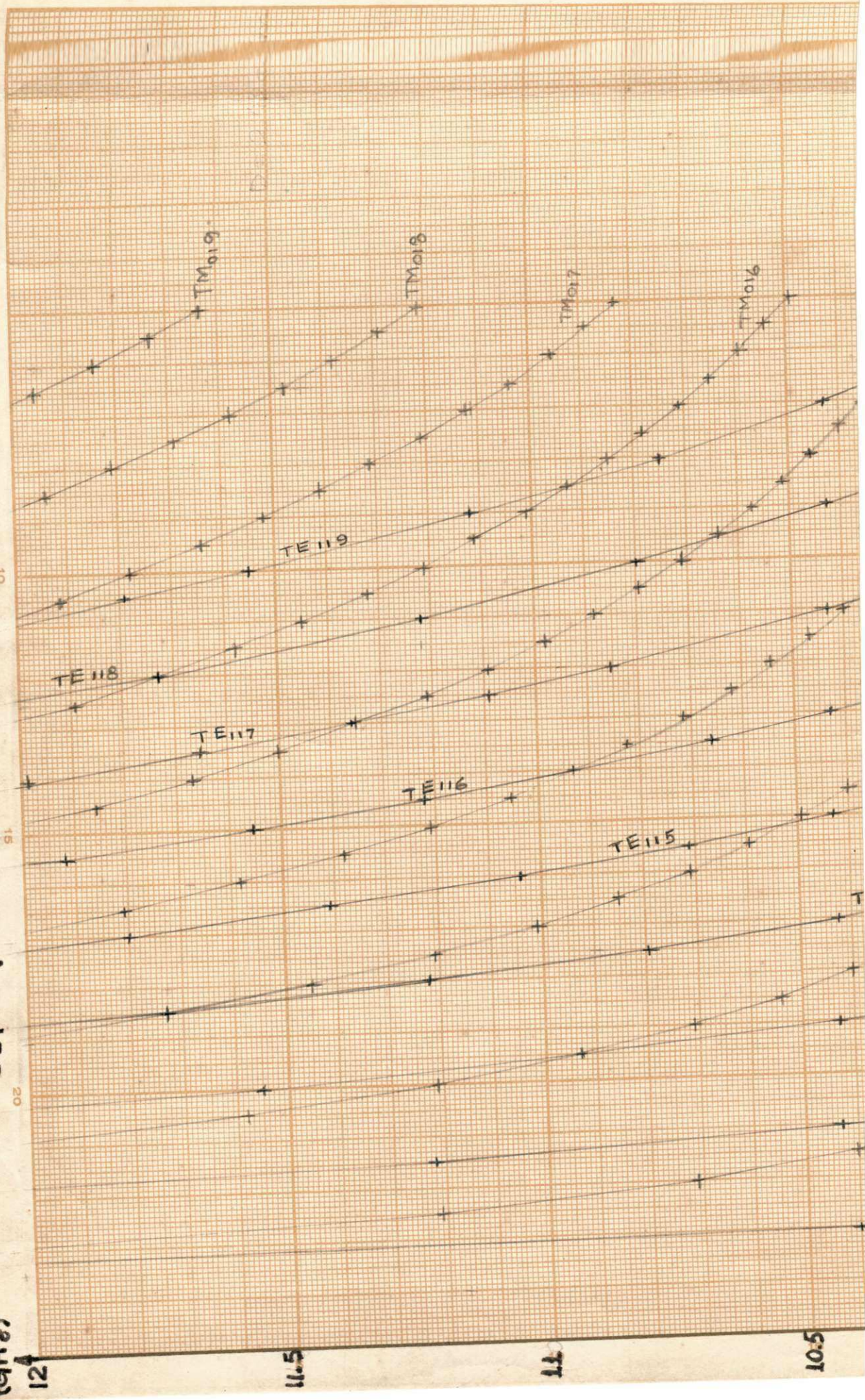


fig 5.1: carta de modos (cavidade cilíndrica)

F_{00}
(GHz)

$D = 2.42 \text{ cm}$



5.1.3- Desenho do acoplamento cavidade-guia

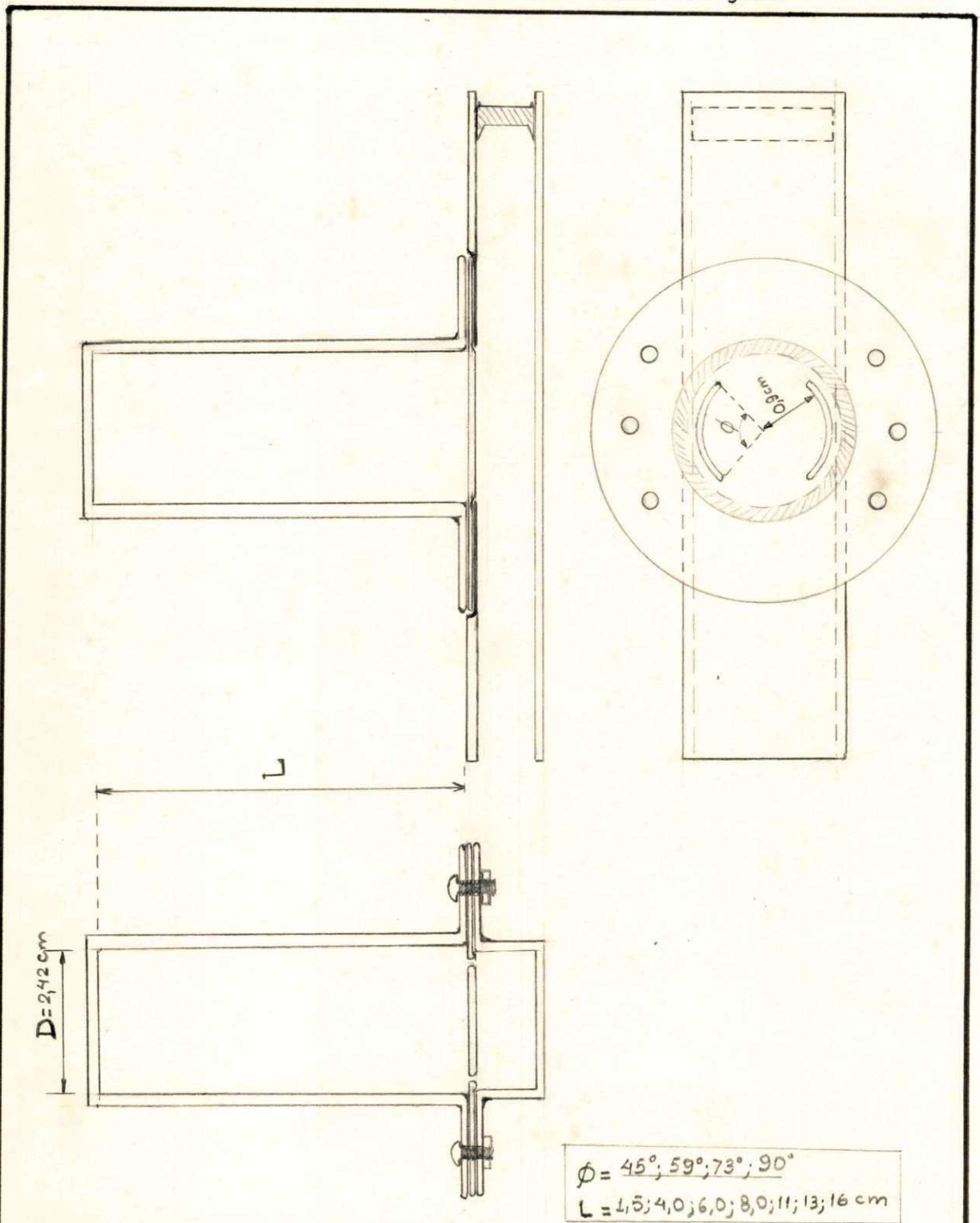


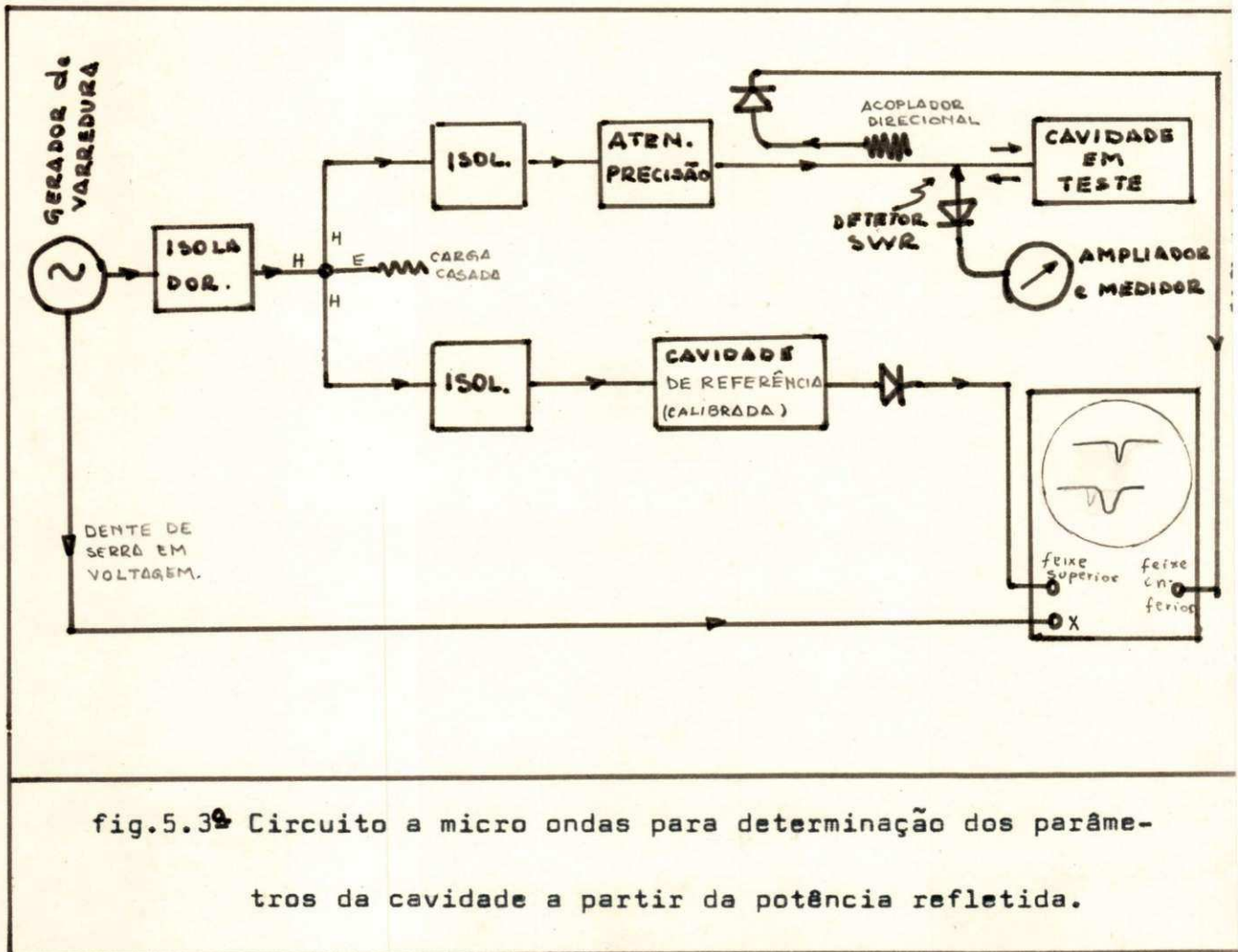
fig 5.2- Desenho mecânico em verdadeira grandeza do conjunto cavidade-acoplador-guia com curto.

5.2-Medida dos parâmetros da cavidade de um acesso.

Mostraremos neste parágrafo como efetuar as medidas dos parâmetros calculados no capítulo 4.6 visando-se determinar experimentalmente o comportamento do conjunto guia-acoplamento-cavidade.

5.2.1-Circuitos propostos.

Apresentaremos duas opções: usar a potência refletida ou absorvida pela cavidade; respectivamente figuras 5.3.a e 5.3.b.



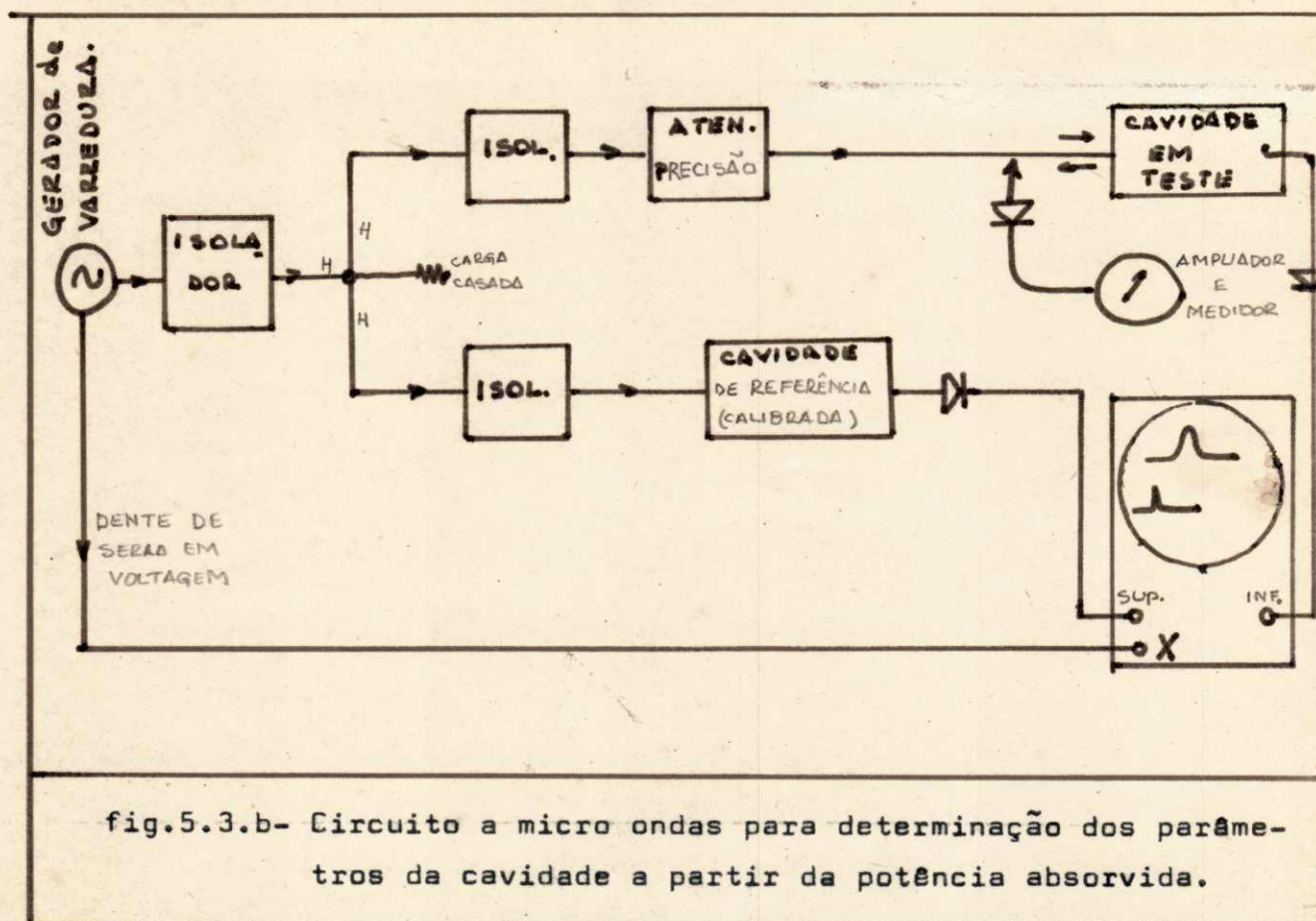


fig.5.3.b- Circuito a micro ondas para determinação dos parâmetros da cavidade a partir da potência absorvida.

A fonte de micro ondas é um gerador de varredura cuja faixa em frequência deve fornecer potência constante sobre um valor bem maior do que o esperado $2\delta\omega$ da queda de 3 db. A saída da varredura em voltagem (dente de serra) é aplicada nas placas X do osciloscópio. A velocidade de varredura é colocada no mais baixo valor possível, desde que exista imagem persistente no osciloscópio (devemos evitar varreduras elevadas para dar tempo da cavidade atingir o regime).

O primeiro isolador casa a fonte e os dois remanescentes tem a função de isolar a cavidade de teste com a de referência. O T mágico é usado para dividir a potência, tendo o braço no plano E terminado numa carga casada. Qualquer acoplador direcional conveniente pode ser usado neste braço.

5.2.2-Medida da frequência de ressonância

A ressonância é localizada ajustando a frequência e procurando por um mínimo de potência refletida (máximo de absorvida) medida com o acoplador direcional (ponta de prova para potência absorvida). Este mínimo é fácil de localizar desde que o resultado seja independente da fase. Localizar um mínimo no VSWR é tedioso uma vez que a locação dos máximos e mínimos / de voltagem estão mudando constantemente. Com uma largura de faixa conveniente no gerador de varredura e montagem da figura 5.3.a a figura 4.5 vai aparecer no traço inferior do osciloscópio (como está mostrado na figura 5.4 abaixo). Notar que o eixo vertical é proporcional à potência refletida e o eixo horizontal é proporcional à frequência. A cavidade de referencia é então ajustada até uma figura semelhante aparecer no feixe superior.

Quando os dois feixes estão alinhados, as frequências de ressonância são idênticas e desde que a cavidade de referencia seja calibrada, o primeiro parâmetro (f_0) é conhecido.

No nosso caso usamos potência refletida para evitar o carregamento da cavidade com a ponta de prova.

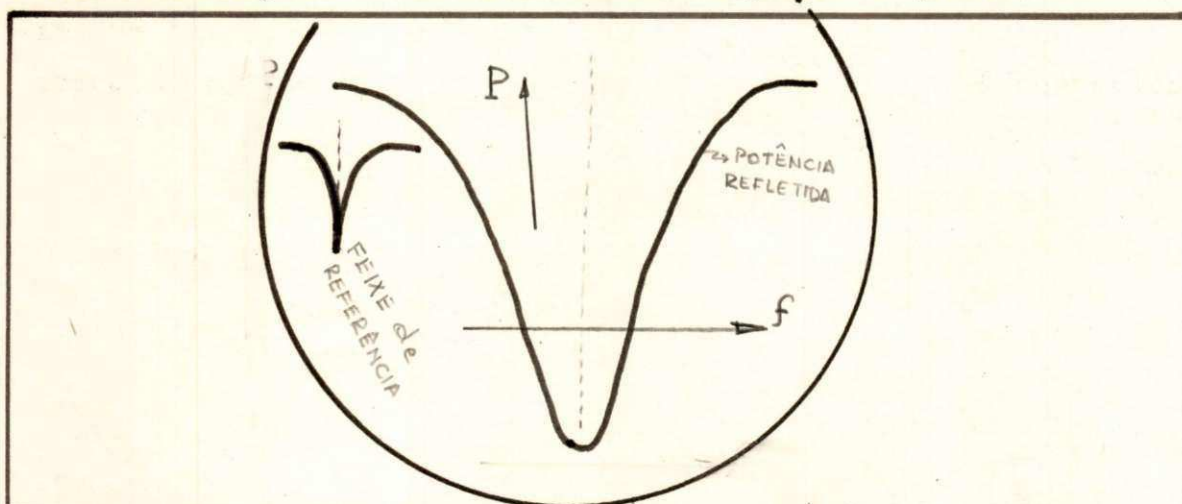


fig.5.4- Disposição dos feixes no osciloscópio na medida da frequência de ressonância.

5.2.3-Medida do fator de qualidade carregado(Q_L)

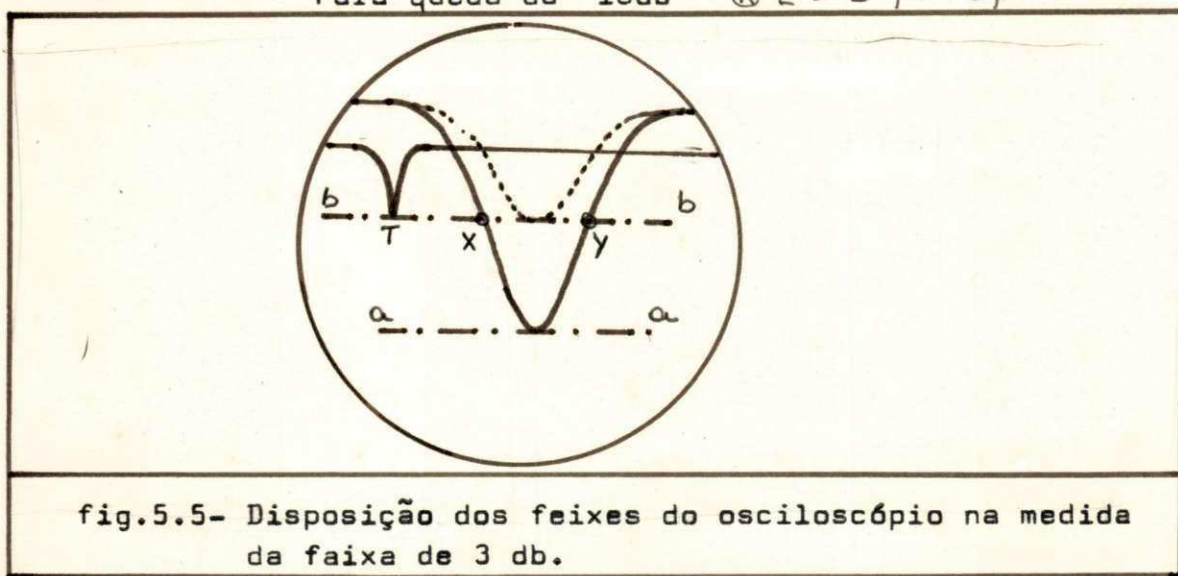
Para medir Q_L é necessário medir a largura de / faixa entre os pontos em que temos metade da queda de potência.

Ajusta-se o atenuador calibrado em 0 db e ajusta-se o traço de mínimo da potência refletida para ler um valor conveniente, como indicado na linha a-a da figura 5.5. Inserindo 3 db de atenuação encontramos a linha mostrada em pontilhado, que determina a reta b-b, em que temos metade da queda de potência. Ajuste o osciloscópio até que a ponta da curva de referência encontre a linha b-b. Volte o atenuador para zero e ajuste a cavidade de referência até os pontos T e Y coincidirem. Anote a leitura da cavidade de referência. Em seguida ajuste a cavidade de referência até os pontos T e X coincidirem, e anote novamente

A diferença entre as duas leituras de frequência é a faixa de 3 db ($\Delta f = 2\delta\omega$) requerida para o cálculo de Q_L .

É importante notar que é igualmente satisfatório medir a faixa correspondente a outros valores de atenuação (principalmente para Q mais alto). Basta considerar convenientemente as fórmulas de 4.5.3.

Para queda de 3 db	$Q_L = f_0 / \Delta f$
Para queda de 6 db	$Q_L = \sqrt{3} f_0 / \Delta f$
Para queda de 10db	$Q_L = 3 f_0 / \Delta f$



5.2.4-Determinação do fator de acoplamento(β)

Sabemos de 4.5.6 que a medida de VSWR(S) na ressonância pode nos fornecer β

$$\beta = \begin{cases} 1/S_0 & \text{se } \beta < 1, Z_0 < n^2 R \text{ subcrítico} \\ S_0 & \text{se } \beta < 1, Z_0 > n^2 R \text{ sobrecrítico} \end{cases}$$

Para determinar se o acoplamento é crítico ou subcrítico localiza-se um mínimo de voltagem abaixo da frequência de ressonância e estuda-se o comportamento da localização / de mínimo a medida que a frequência cresce até a ressonância e acima. Para acoplamento sobrecrítico a localização do mínimo desloca continuamente em relação à carga. Para subcrítico o mínimo inicialmente desloca em direção à carga, depois em direção ao gerador e finalmente em direção à carga.

Sabemos que quando a ranhura de nosso acoplamento fica muito pequena a cavidade se comporta como circuito aberto então a impedância refletida no guia ($n^2 \cdot R$) é grande ou seja n tende a infinito e então $\beta > 1/n^2 R$ tende a zero, ou seja, o acoplamento é subcrítico e o S é grande. A medida que aumentamos a ranhura n diminui, β aumenta e o acoplamento torna-se crítico e depois sobrecrítico. Então basta determinarmos β para ranhuras em que $S \approx 1$, pois então sabemos que para ranhuras menores o acoplamento é subcrítico e para ranhuras maiores é sobrecrítico.

5.2.5-Tabelas e resultados

Para facilidade nas medidas e resultados apresentaremos tabelas convenientes na figura 5.6.

PARA OS RESULTADOS

CAVIDADE n.º ... L =
 TIPO: D =
 MODO: L₀ =
 f₀₀ (ressonância): C₀ =
 f₀₀ (teórica):

ACOPLADOR	∅	f ₀ GHz	Δf MHz	S na ress.	TIPO de ACOPLAM.	β	Q ₀	Q _L	R 10 ⁻³ Ω	η	ΔC 10 ⁻³ PF
#1	45										
#2	59										
#3	73										
#4	90										

PARA AS MEDIDAS

CAVIDADE N.º
 ACOPLADOR N.º ...

f ₀							
2δw							
TIPO DE ACOPLAMENTO							
S							

fig.5.6- Tabela das medidas e resultados.

5.3-Medida dos parâmetros da cavidade de dois acessos;

Mostraremos neste parágrafo como efetuar as medidas dos parâmetros calculados em 4.7.

5.3.1-Circuito proposto e medidas.

O circuito proposto para medida é semelhante ao para cavidades de um acesso, com excessão de medirmos Q_L através da potência transmitida (figura 5,5)

Faremos dois acoplamentos iguais donde :

$$Q_L = \frac{Q_0}{1+2\beta}$$

S na ressonância $\left\{ \begin{array}{l} \rightarrow \frac{1}{2\beta} \text{ subcrítico} \\ \rightarrow 2\beta \text{ sobrecrítico} \end{array} \right.$

$$R_{cav} = \omega_0 L_{eq} / Q_L$$

$$L_{eq} = 10^{-9} \cdot L \text{ Henry}$$

$$n = \frac{1}{\sqrt{\beta R}}$$

$$\Delta C = \left(\frac{25}{f^2 L} \right) - \left(\frac{4,8 \times 10^{-2} D^2}{L} \right)$$

ΔC	\rightarrow PF
L	\rightarrow cm
D	\rightarrow cm
f	\rightarrow GHz

5.4-Parâmetros do modo TM_{01m}

As medidas para o modo TM_{01m} são análogas às do modo TM_{010} . Devemos seguir o procedimento indicado em 4.6.

CAPITULO 6

CONCLUSÕES

A aplicação de circuitos a parâmetros concentrados na análise da cavidade cilíndrica (modo TM_{01m}) e do acoplamento com o guia retangular mostrou-se útil para nosso caso. O circuito para o acoplamento (transformador $n:1$) será tanto melhor quanto menos variar n em função do comprimento da cavidade. Medidas experimentais, já iniciadas, confirmarão ou não a utilidade deste circuito equivalente (transformador) para o acoplamento. O efeito do abaixamento da frequência de ressonância (representado pelo aumento da capacitância equivalente) já teve confirmação experimental qualitativa.

A análise exposta nas páginas anteriores representa mais a tentativa de compreensão do acoplamento de dois guias diferentes do que uma ajuda efetiva ao projeto de aquecimento com modo TM_{010} . Isto porque com a colocação da matéria a ser aquecida na cavidade e a confecção de um furo central no acoplamento para a matéria passar, o comportamento do acoplador será levantado somente em bases experimentais devido a dificuldade da análise teórica.

BIBLIOGRAFIA

- 1 - HEATING WITH MICROWAVES=/ H. PUSCHNER
Philips Tec. Library / Springer-Verlag N Y inc.-1966
- 2 - MICROWAVE CIRCUITS / JEROME L. ALTMAN -
D. Van Nostrand Company, Inc.- 1964
- 3 - MICROWAVE MEASUREMENTS/ EDWARD L. GINZTON
McGraw-Hill Book Company, inc.- 1957
- 4 - THE MICROWAVE ENGINEERS' HANDBOOK and BUYERS' GUIDE
1964
- 5 - HANDBOOK OF MICROWAVE MEASUREMENTS, POLYTECHNIC PRESS
John Wily & Sons, inc., New York- 1963
- 6 -